

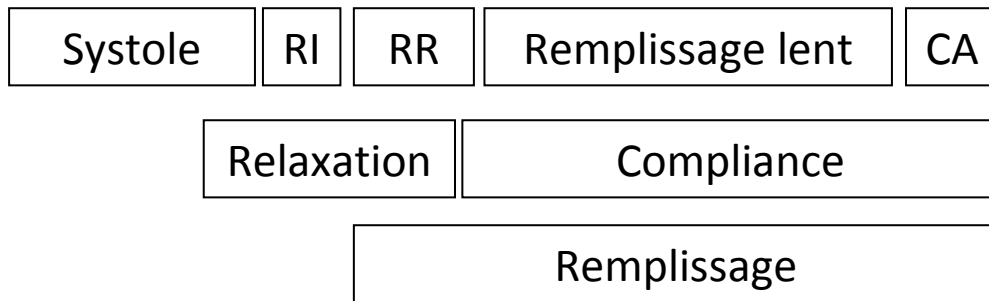
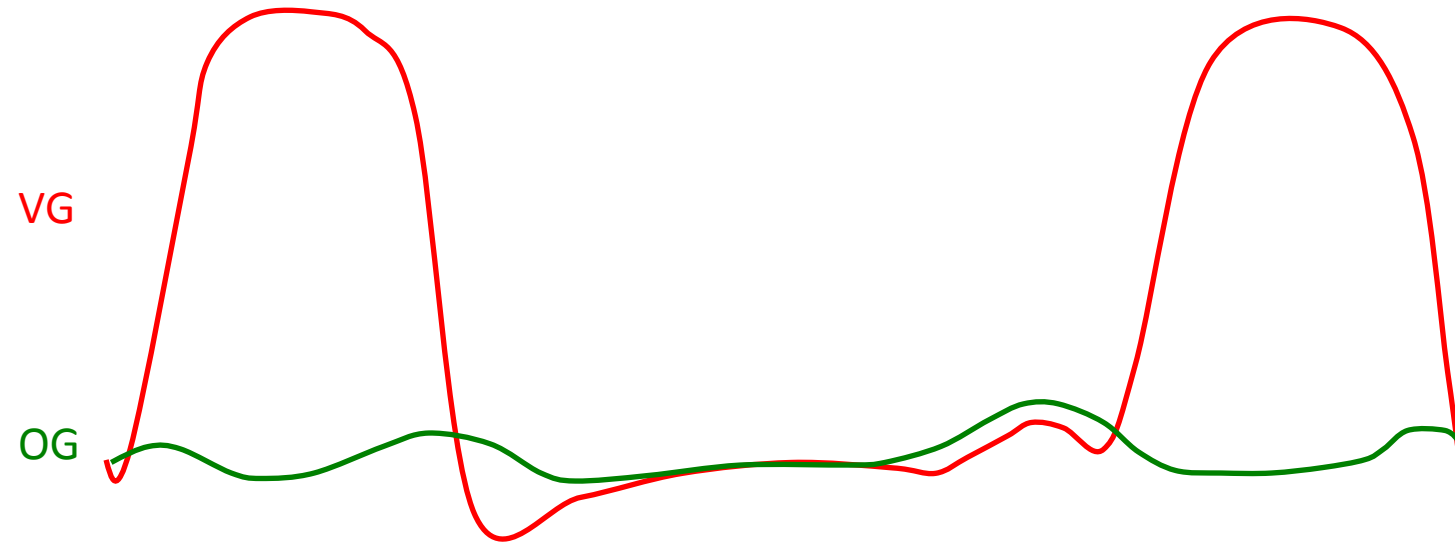
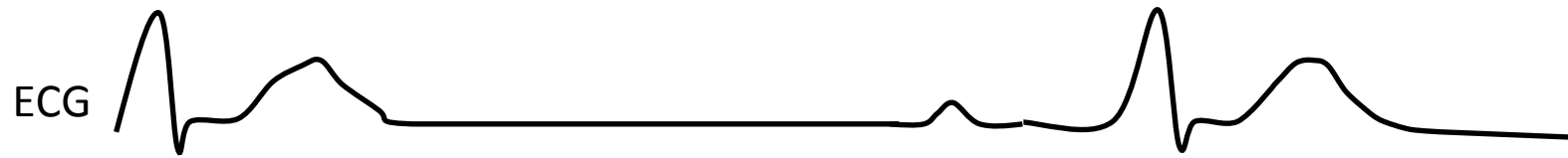
# Fonction diastolique ventriculaire

Julien Maizel

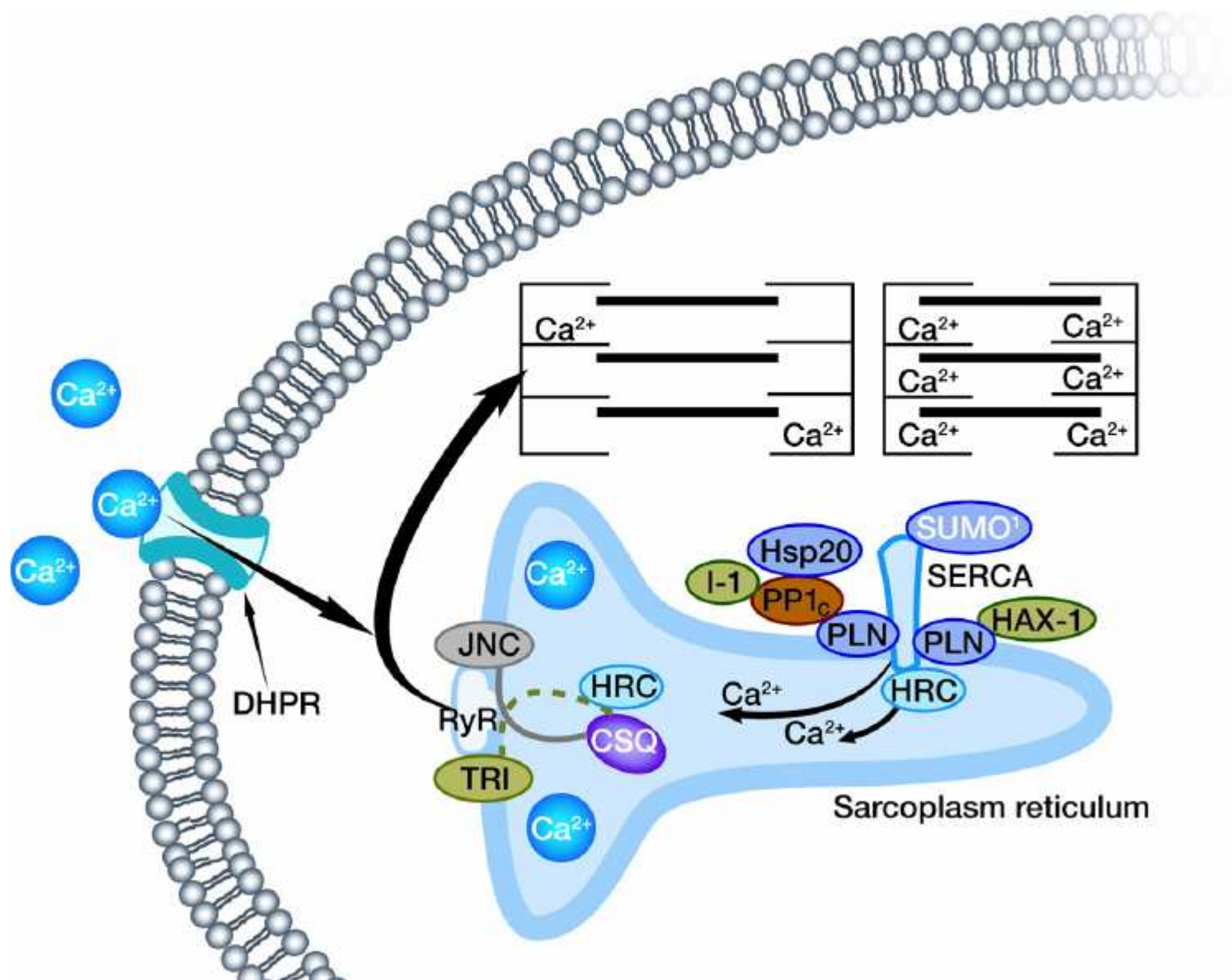
DESC Réanimation, Amiens 12 Décembre 2013

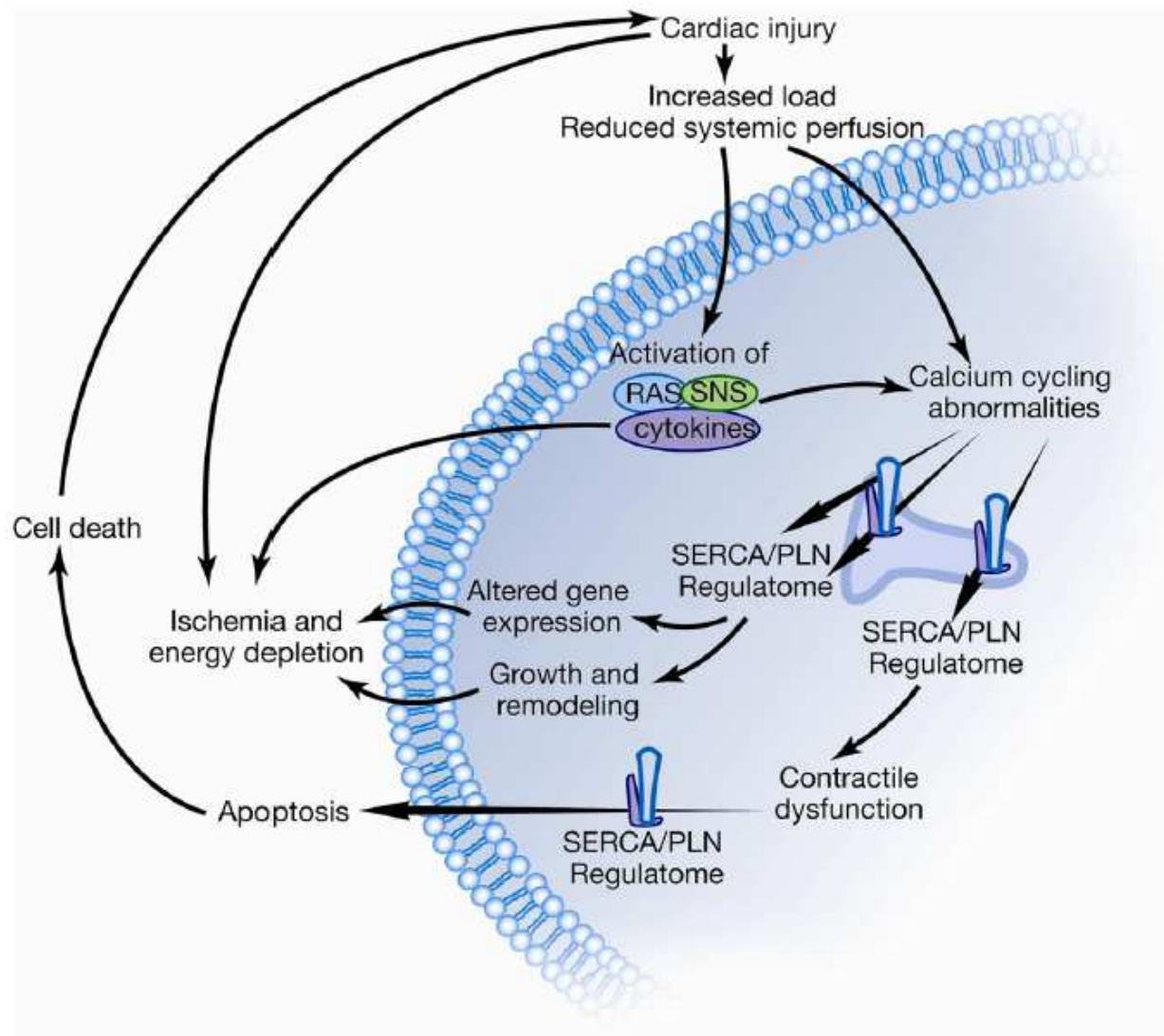
- Mécanismes physiologiques de la fonction diastolique
- La dysfonction diastolique
- Techniques d'analyse de la fonction diastolique
- Applications cliniques en réanimation, traitements

Fonction diastolique = dynamique de  
relaxation et de remplissage du  
ventricule gauche



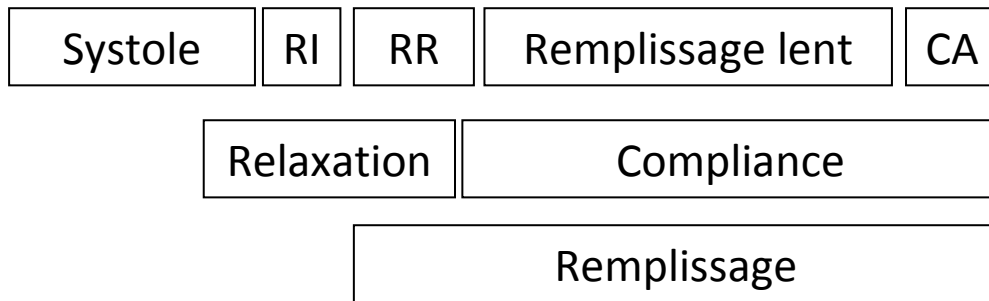
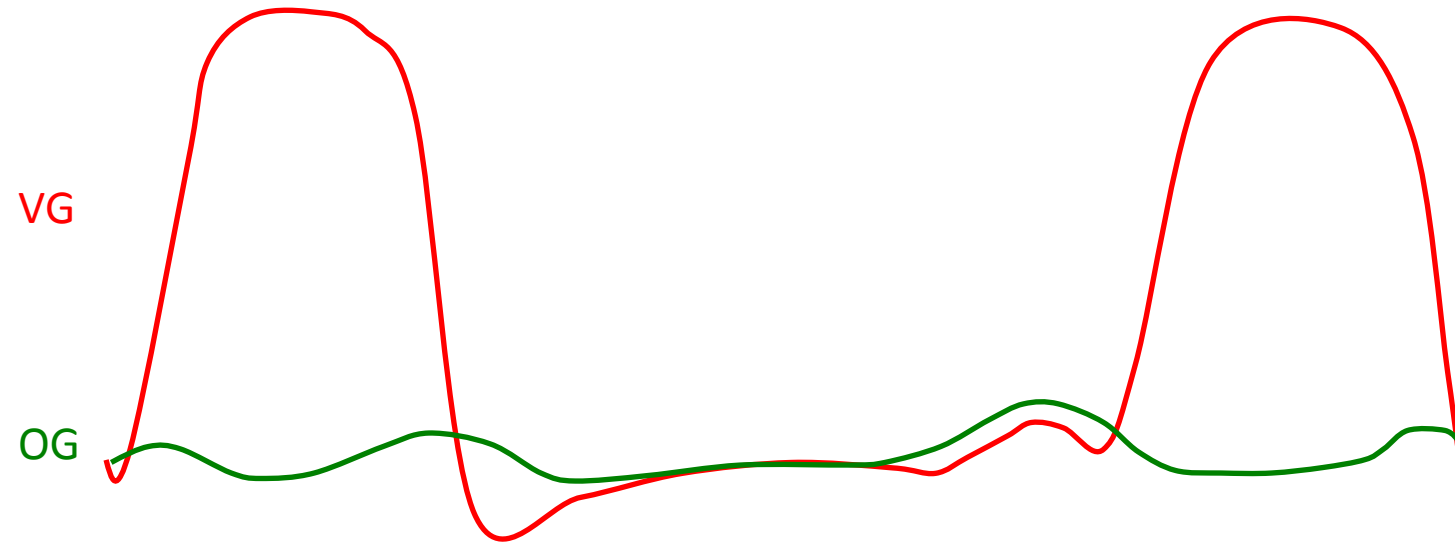
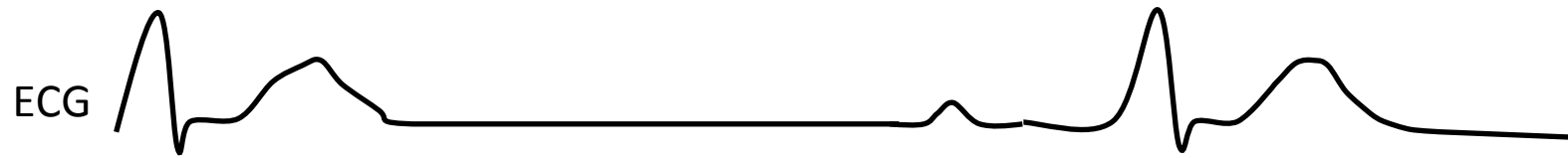
# La relaxation



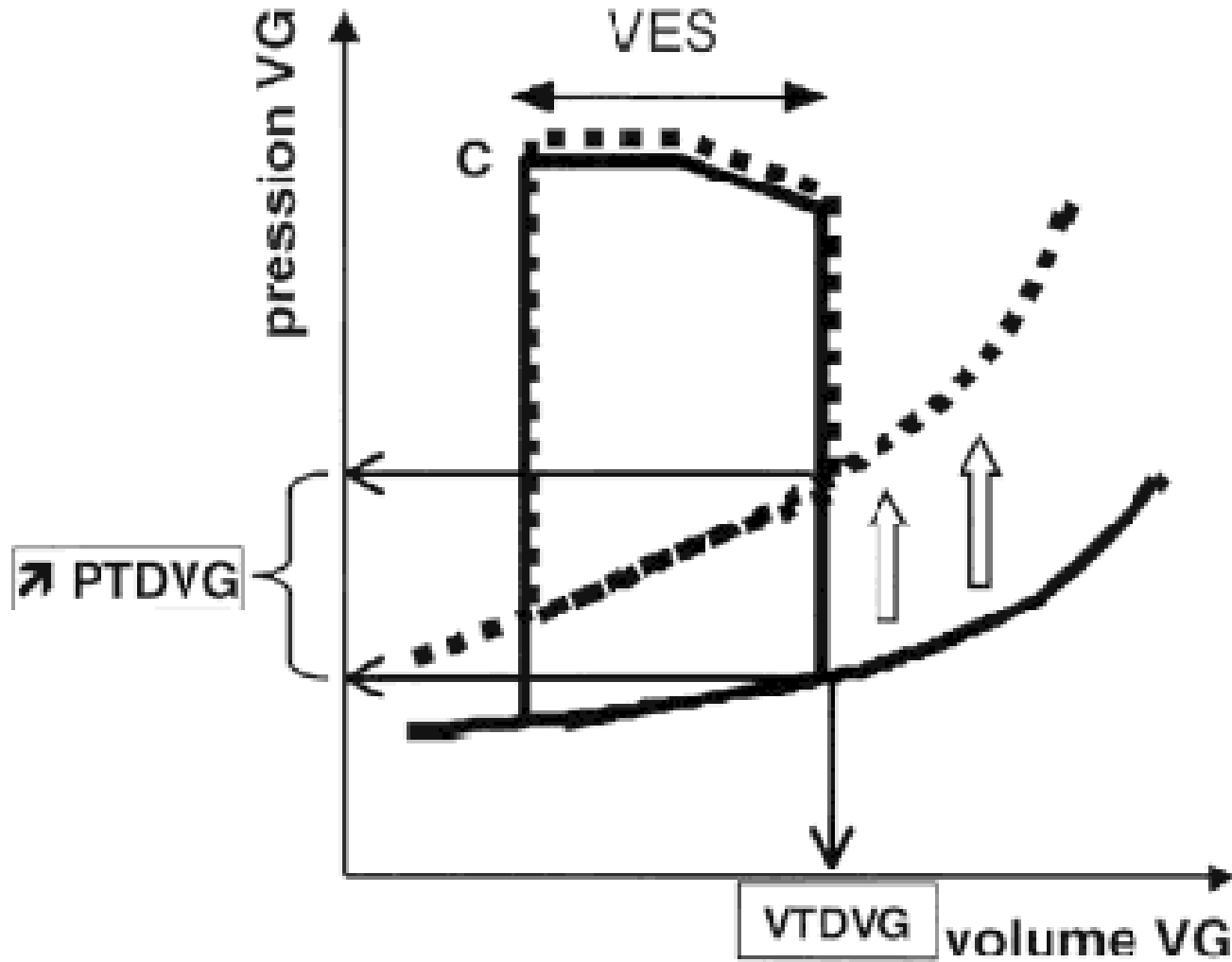


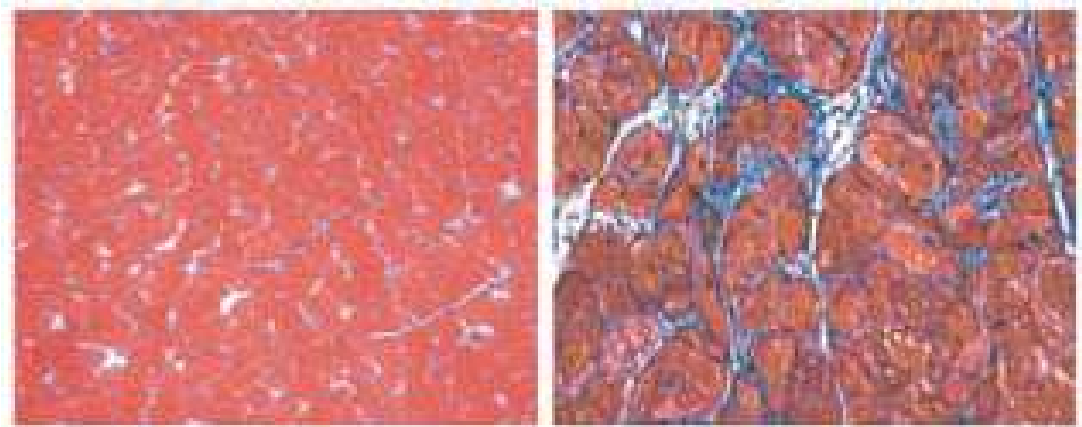
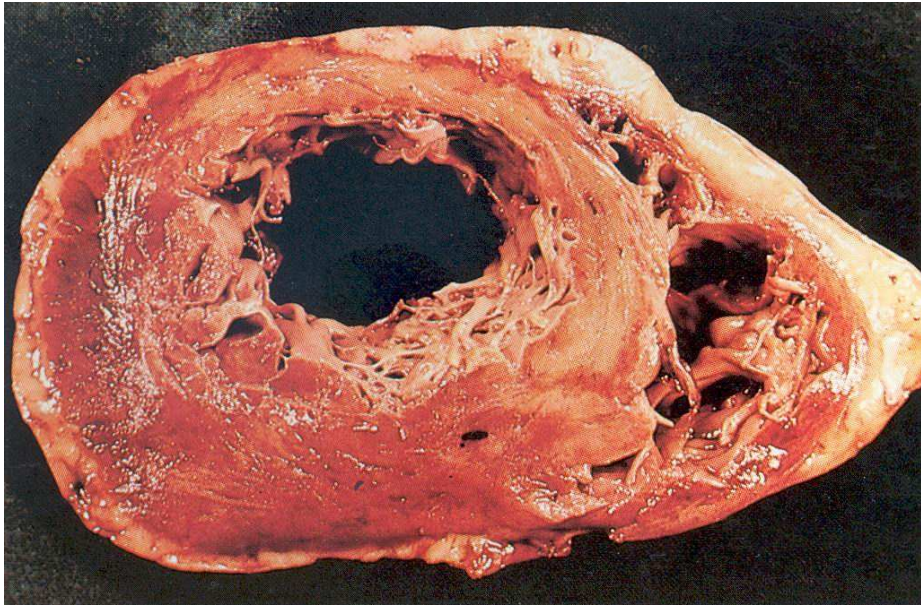
# Relaxation

- Phénomène actif (consomme de l'ATP)
- Recapture du Ca dans le reticulum sarcoplasmique
- Plusieurs acteurs: Serca/Phospholamban, NCX

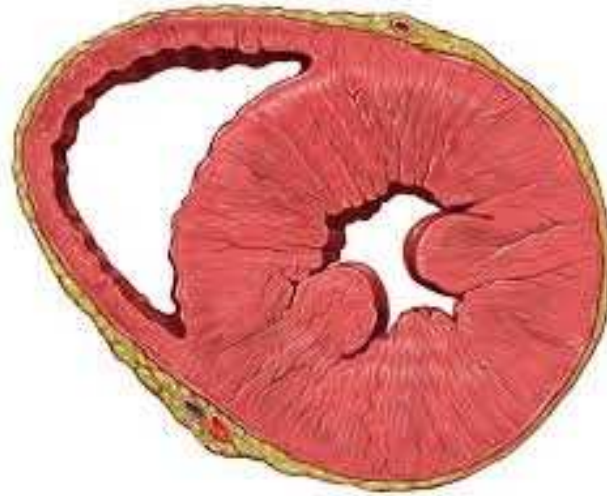


La compliance du VG:  $dV/dP$





## Hypertrophie ventriculaire gauche hypertensive ou CMH



Altération de la relaxation + Altération de la compliance

La dysfonction diastolique

Relachement des fibres myocardiques

Distension passive des fibres myocardiques

Relaxation

Compliance

Trouble du remplissage du VG

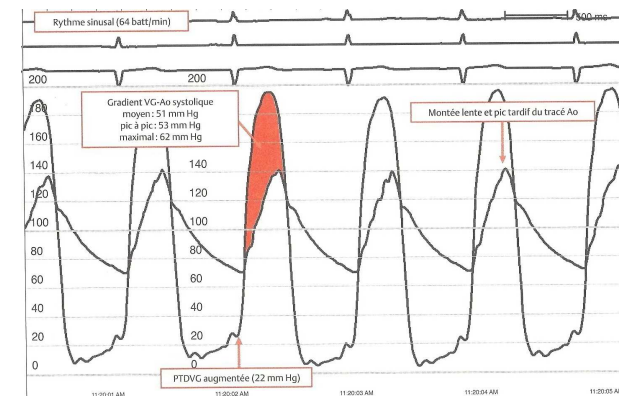
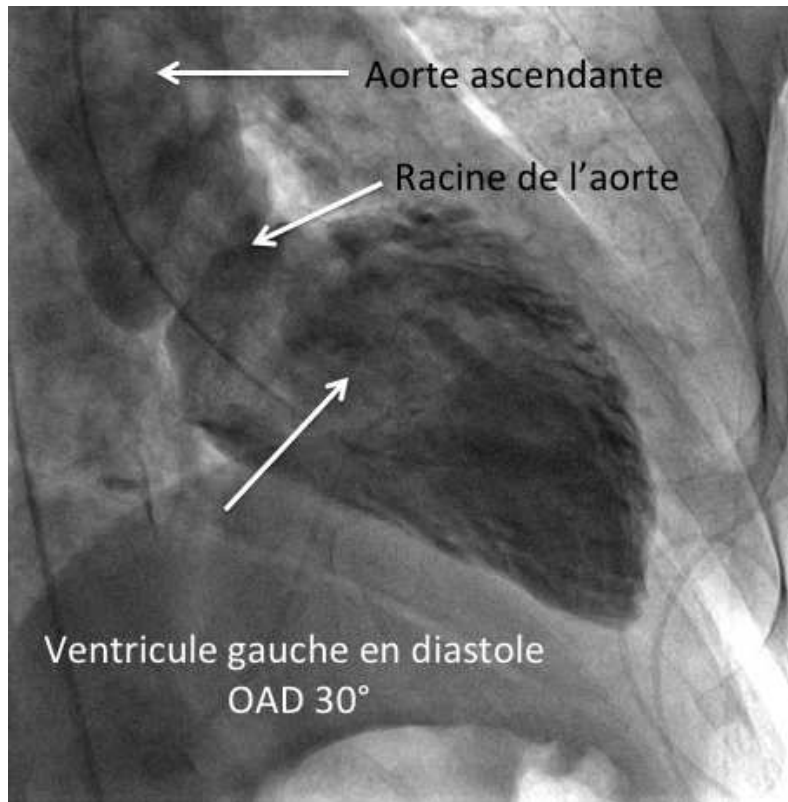
Élévation des pressions de remplissage

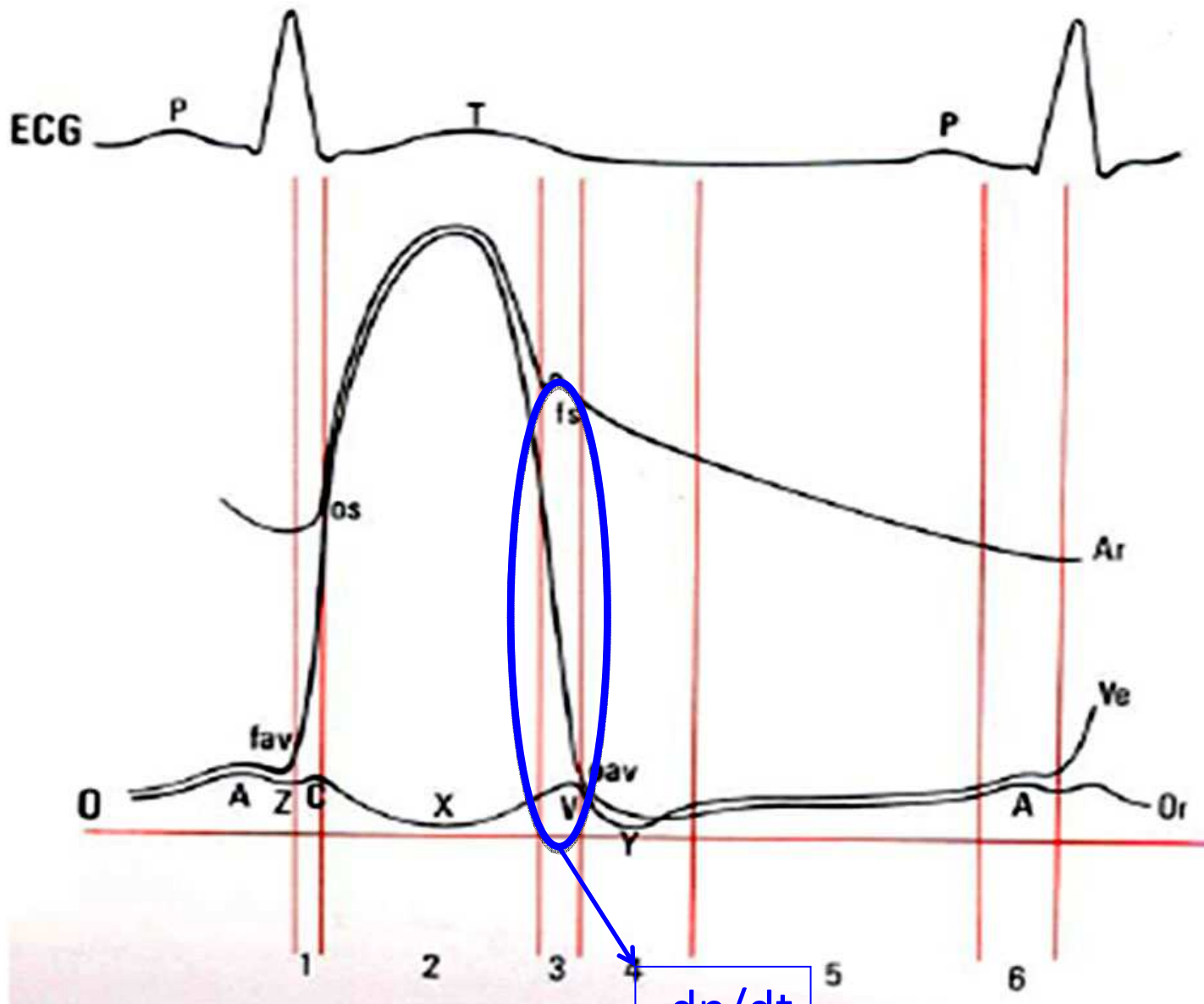
Insuffisance cardiaque diastolique

# Exploration de la fonction diastolique

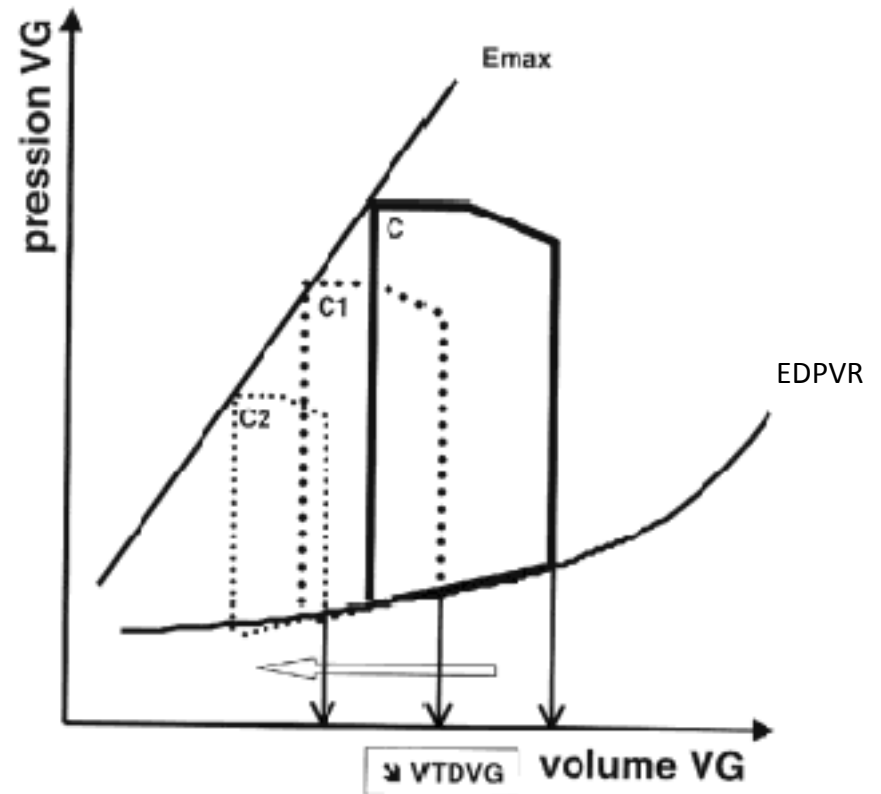
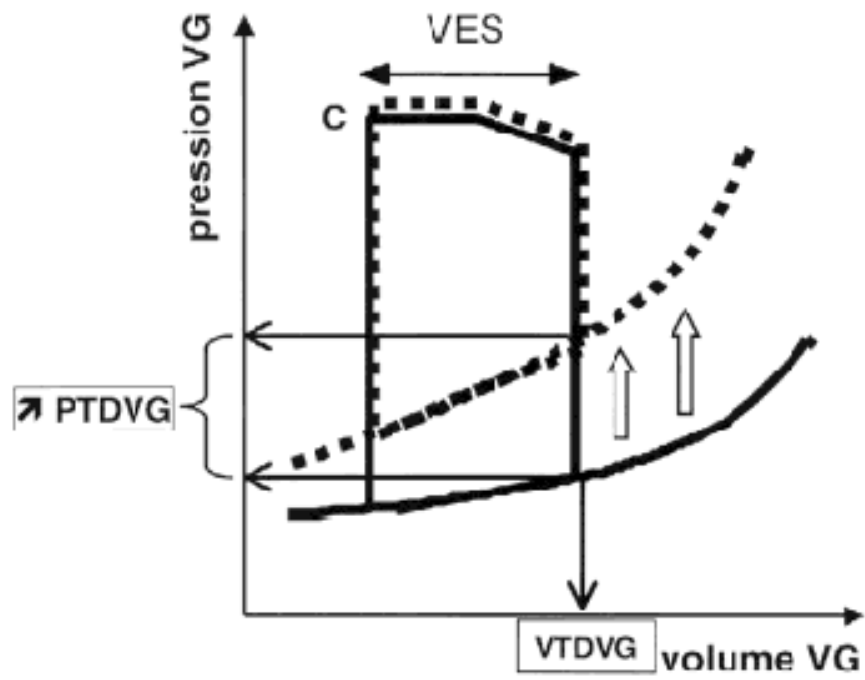
- Techniques invasives
- Echocardiographie

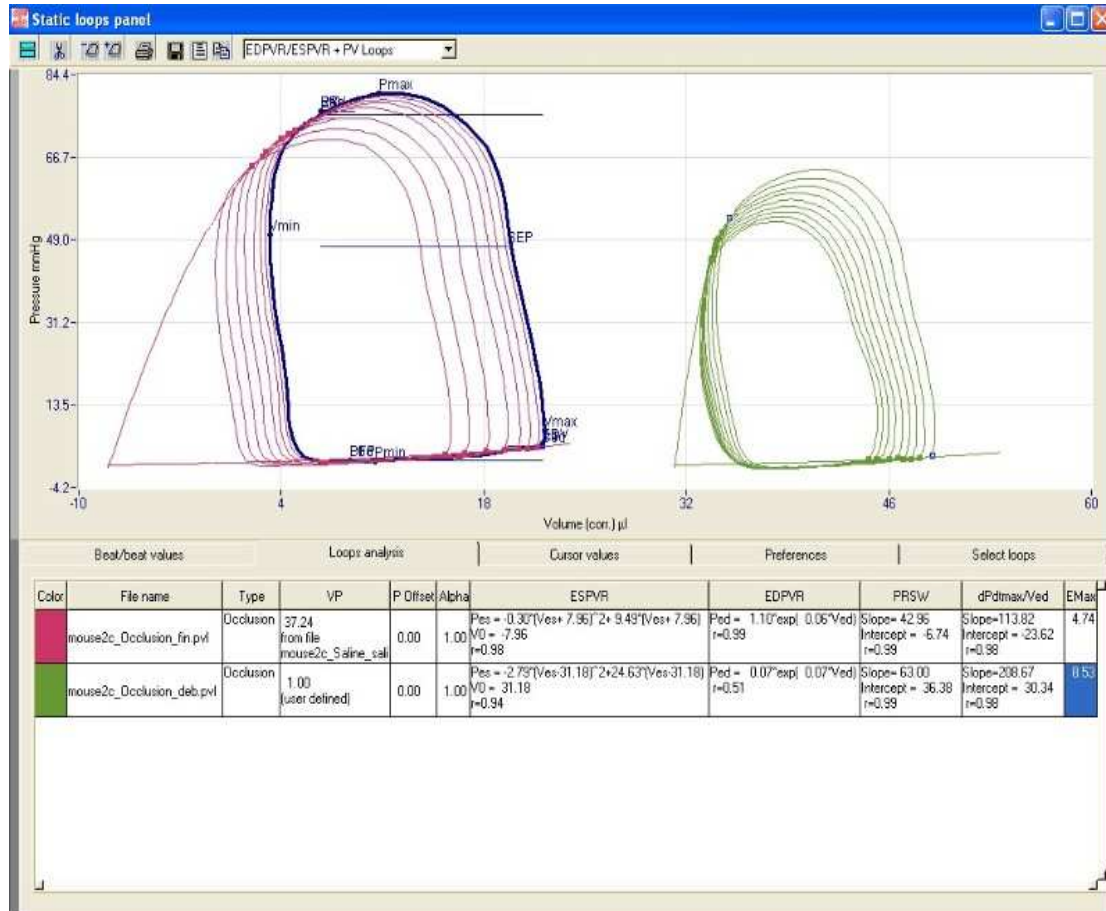
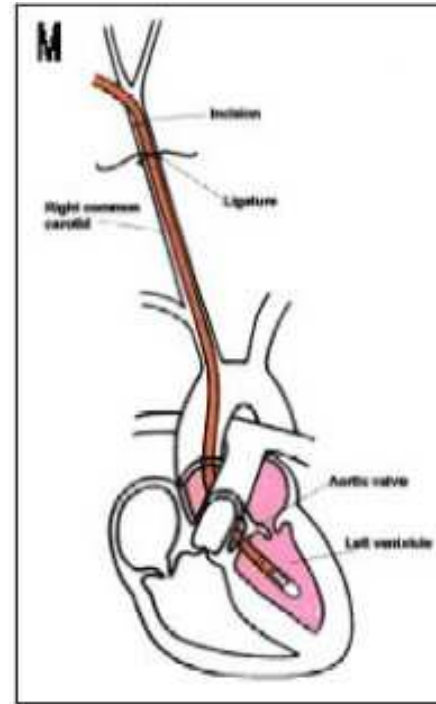
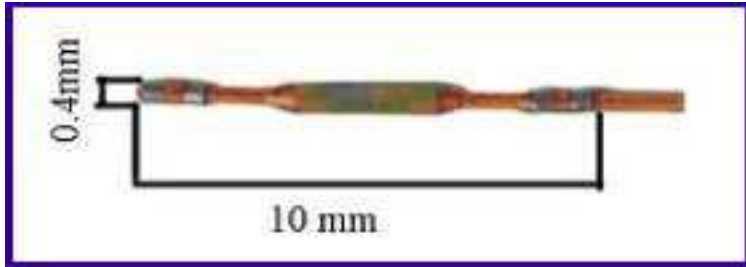
# Exploration invasive de la fonction diastolique:

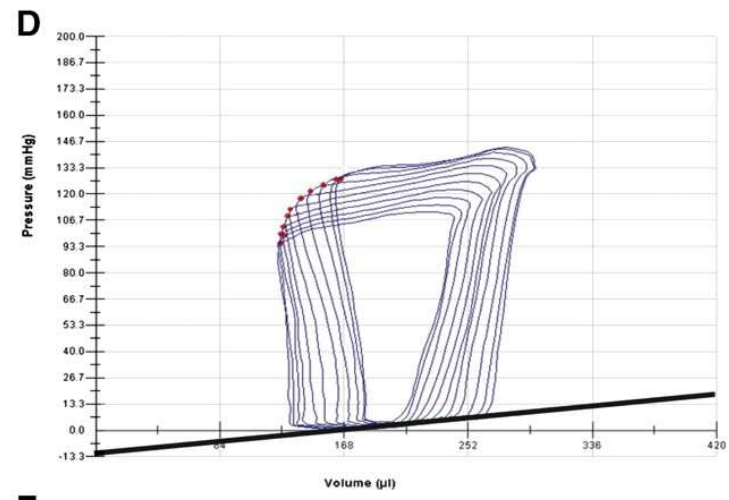
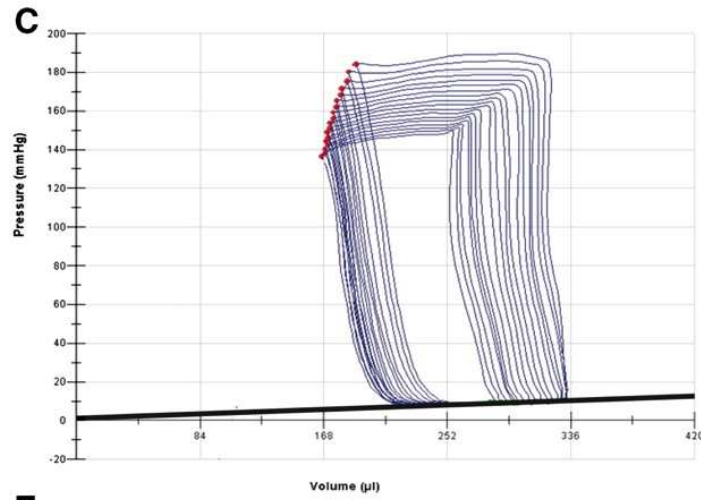
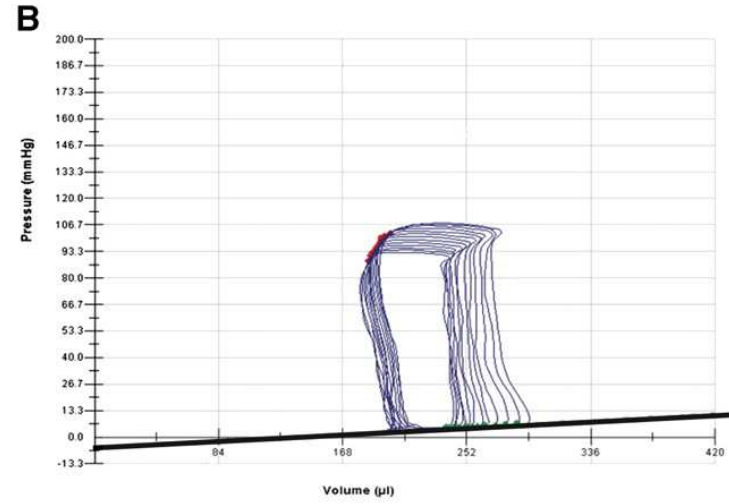
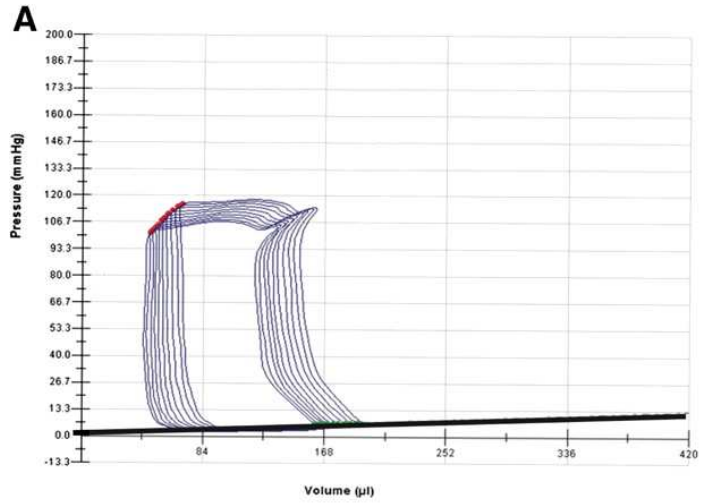




-dp/dt  
 Tau  
 TRIV





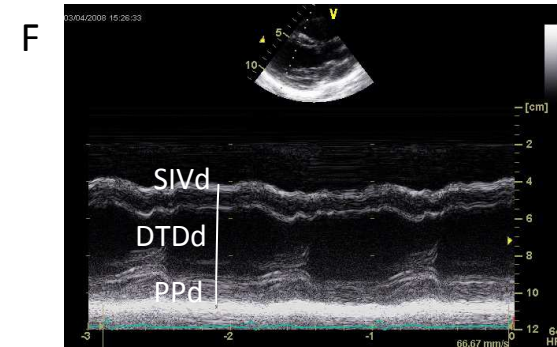
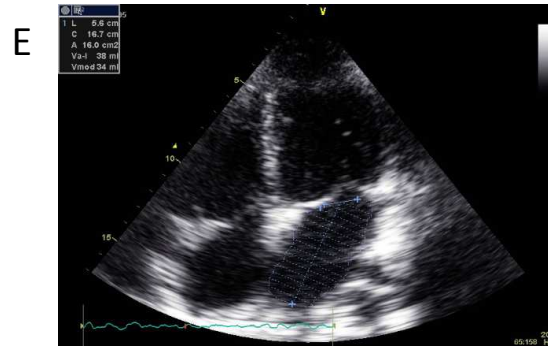
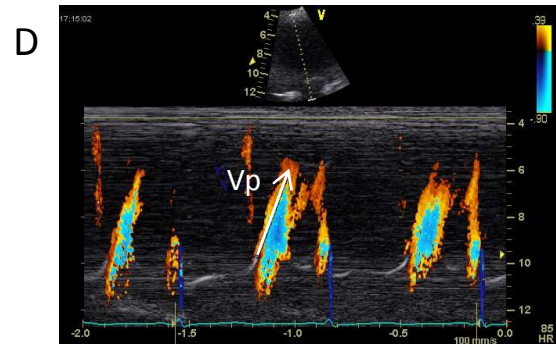
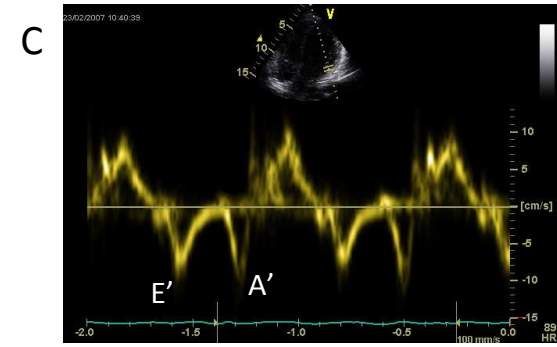
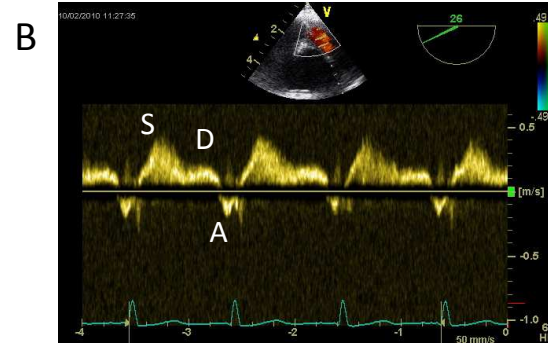
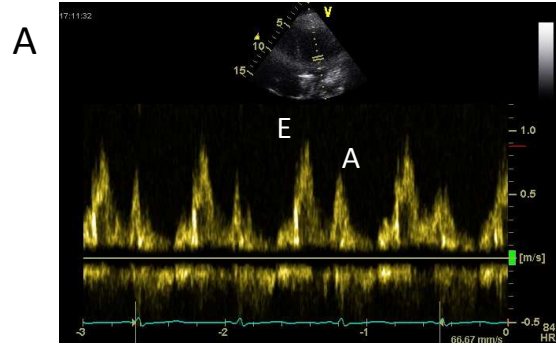


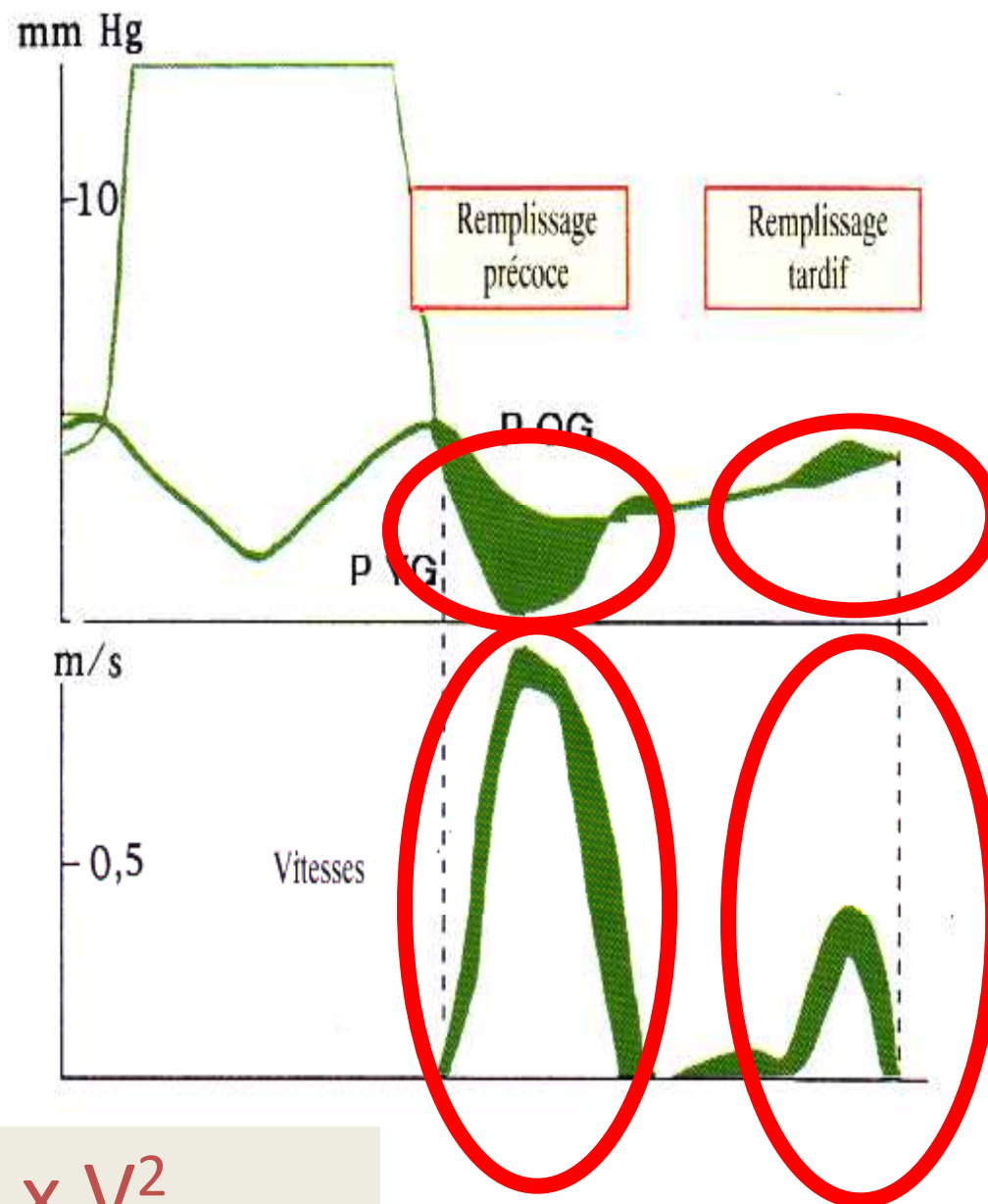
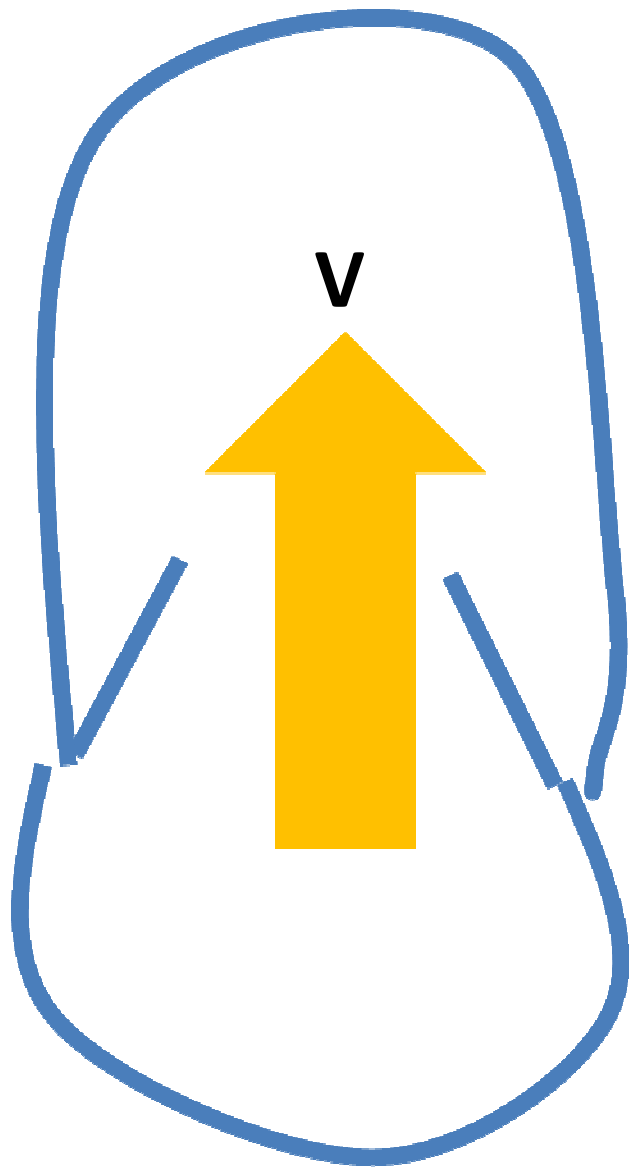
**E**

**F**

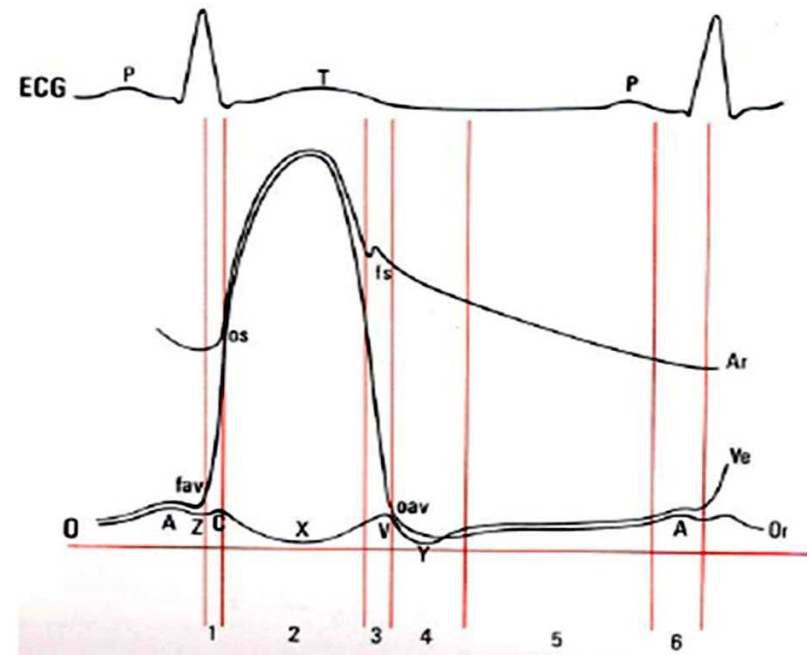
# Echocardiographie







$$LVP-LAP = 4 \times V^2$$



# VISUALSONICS

Julien (2; imported)  
RMV-707B 30 MHz

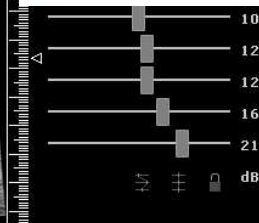
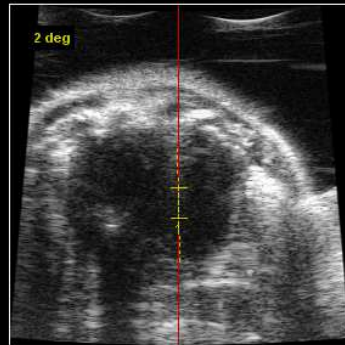
Study Name: 27 7R2  
Animal ID:  
Image Label:

PW Doppler Mode  
Loop: Recalled

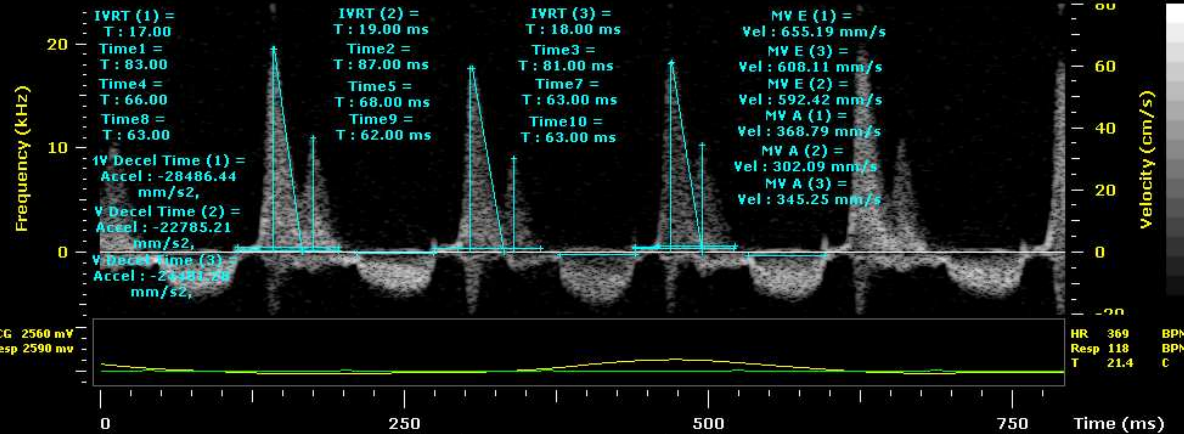
**Transmit**  
Frequency: 23 MHz  
Power: 50 %  
PRF: 30 kHz

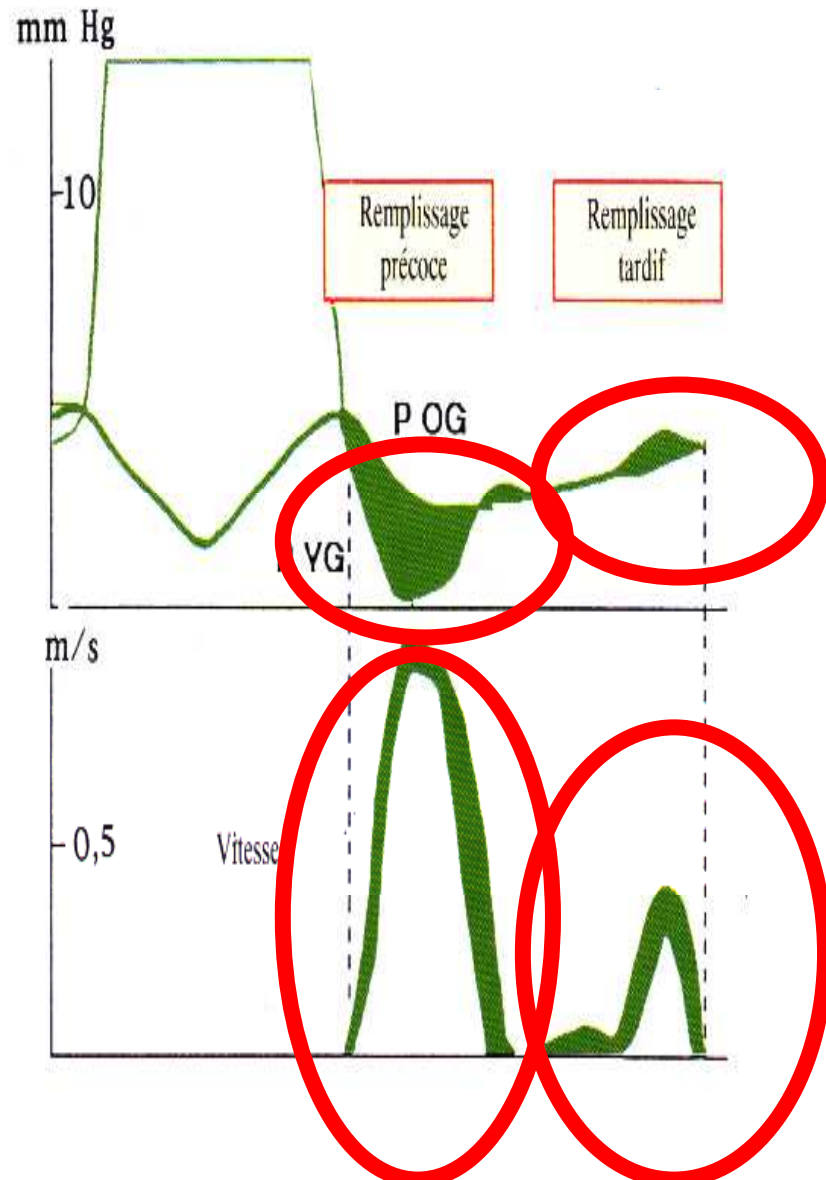
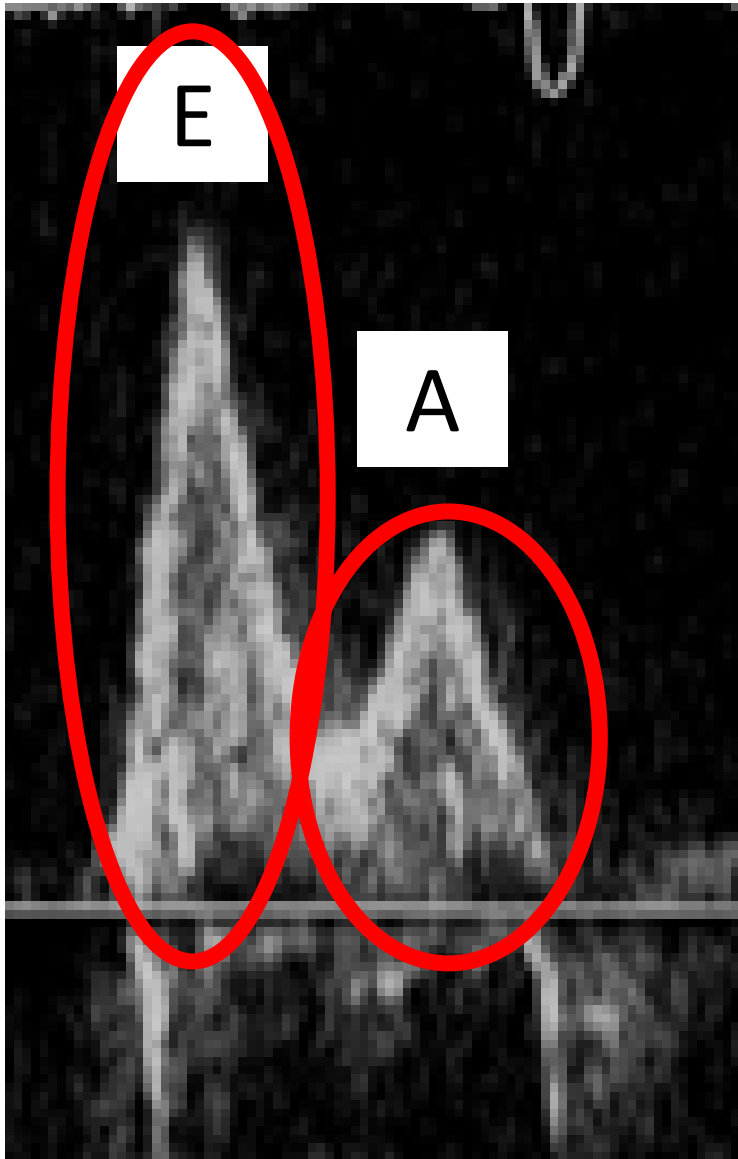
**Sample Volume**  
Depth: 13.47 mm  
Length: 1.07 mm  
Angle: 2 deg

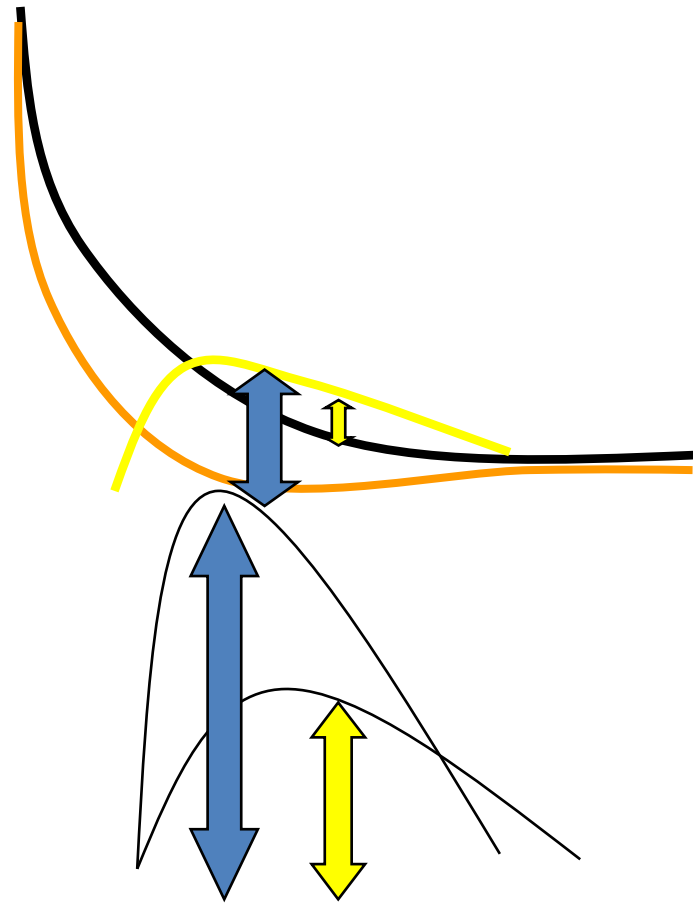
**Receive**  
Doppler Gain: 10.00 dB



Details

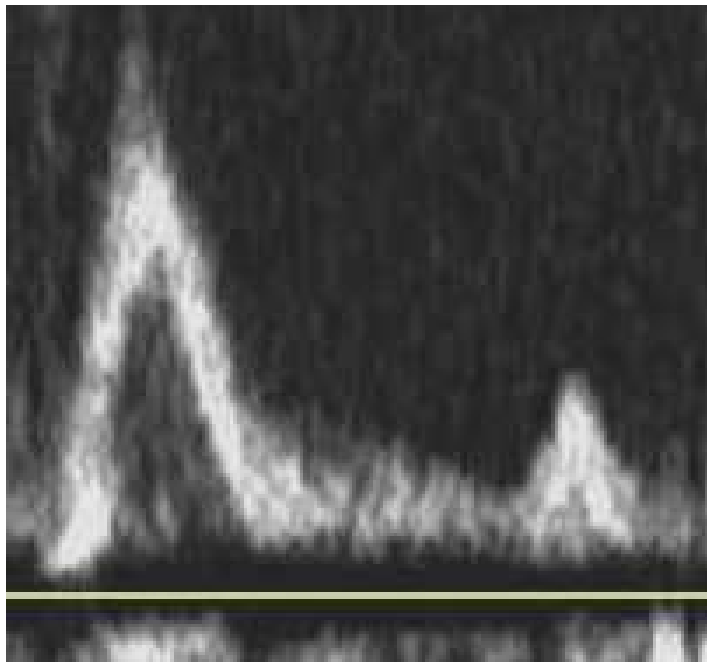
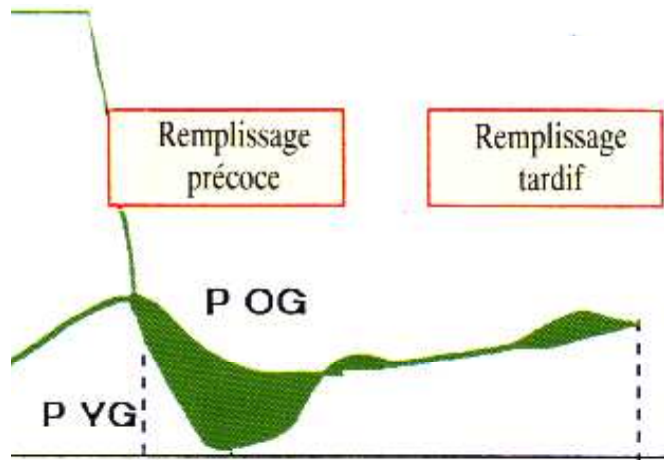




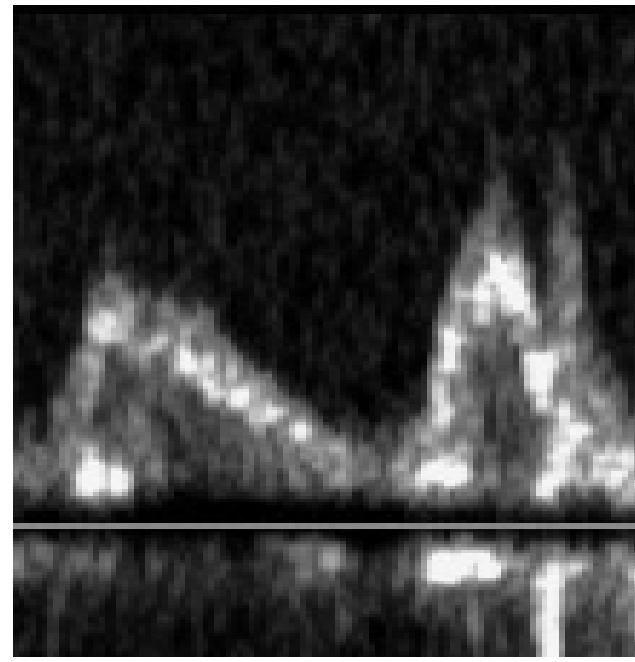
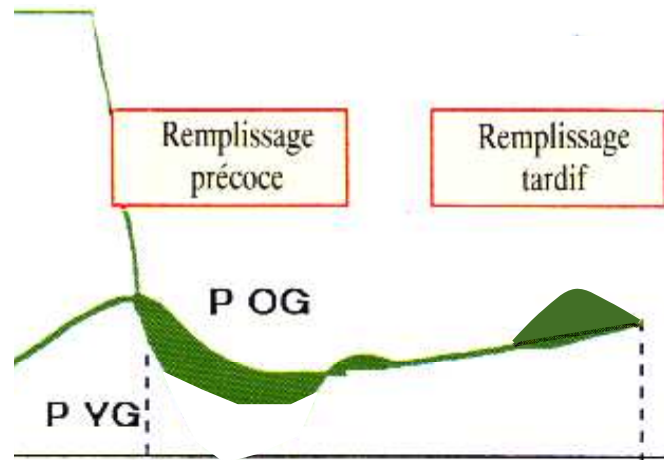


LV Pressure

Mitral flow

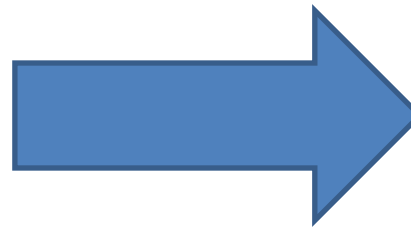
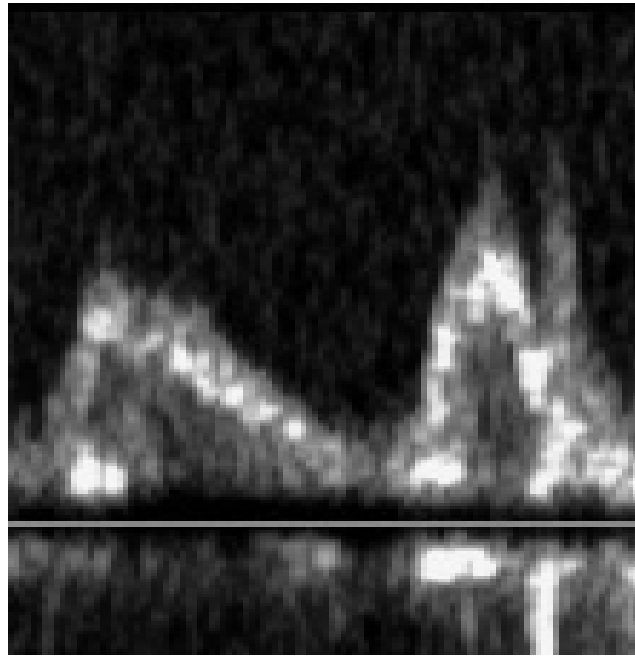


Normal

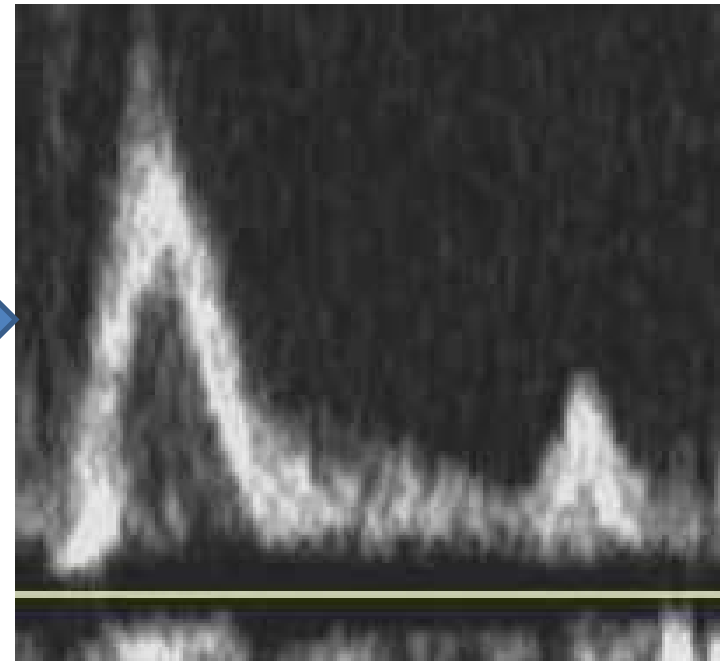


Trouble de la relaxation VG  
sans élévation des pressions  
de remplissage

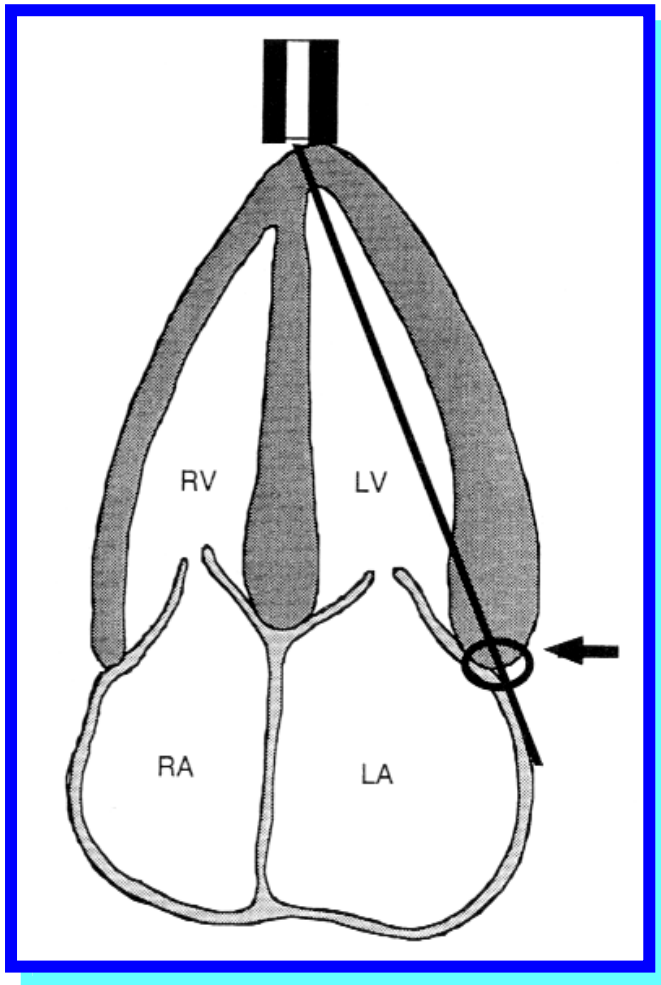
# Le flux mitral est dépendant de la PAPO



**Elévation de  
la PAPO**

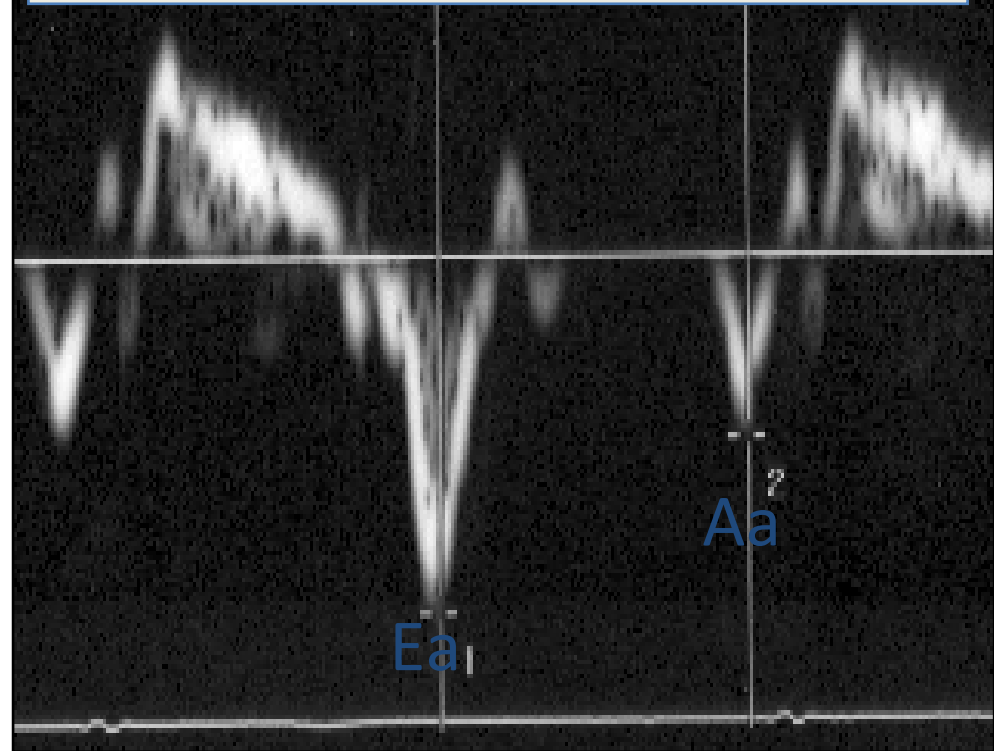


Comment évaluer la fonction diastolique indépendamment des conditions de charge?



Valeurs normales

$Ea > 8 \text{ cm/s}$  et  $Ea / Aa > 1$

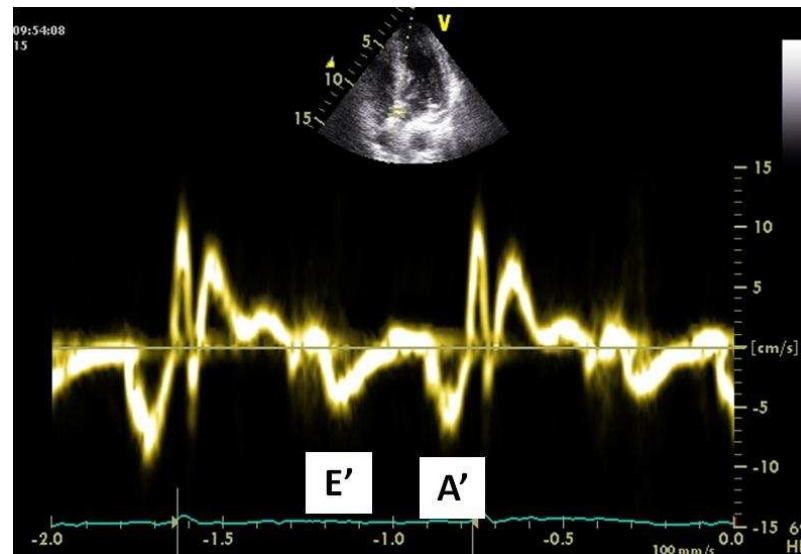
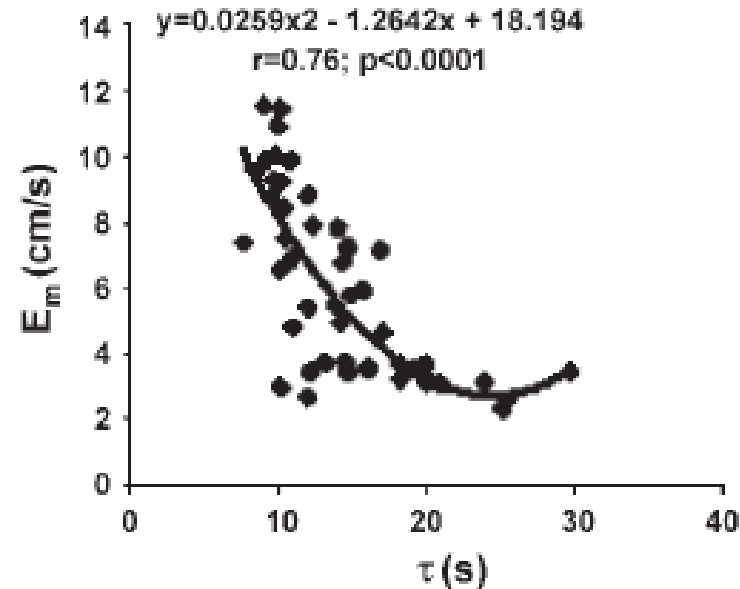


$Ea = 15 \pm 4 \text{ cm/s}$   
 $Aa = 10 \pm 3 \text{ cm/s}$

**Michel Slama, Jwari Ahn, Marcel Peltier, Julien Maizel, Denis Chemla, Jasmina Varagic, Dinko Susic, Christophe Tribouilloy and Edward D. Frohlich**

*Am J Physiol Heart Circ Physiol* 289:1131-1136, 2005. First published Apr 29, 2005;

doi:10.1152/ajpheart.00345.2004

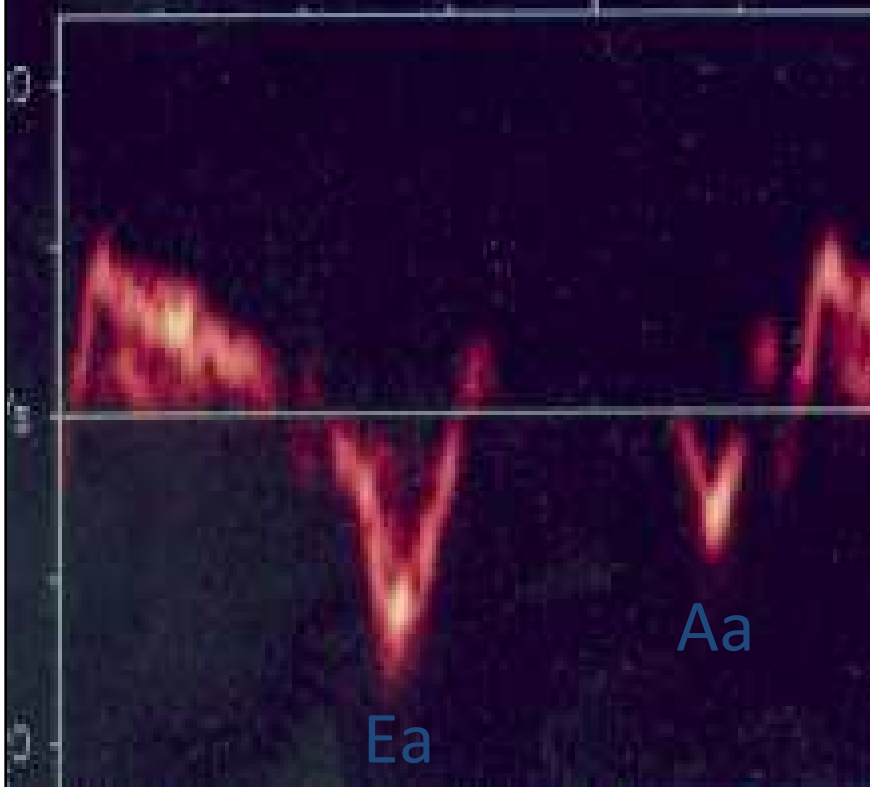


## Déplacement de l'anneau mitral

normal

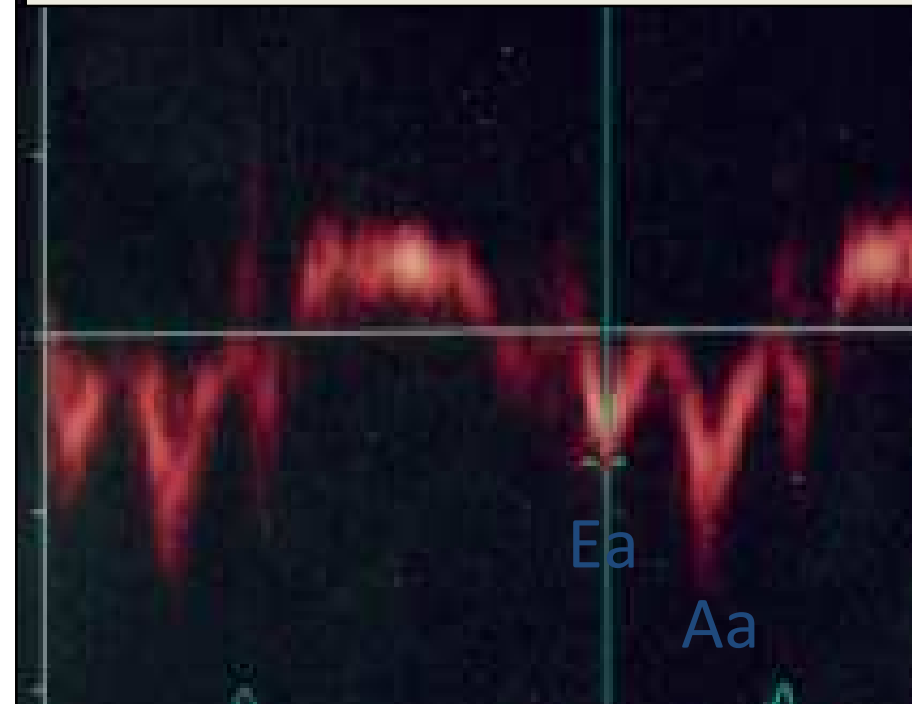
$Ea = 18\text{cm/s}$      $Ea > Aa$

DP 2.5MHz



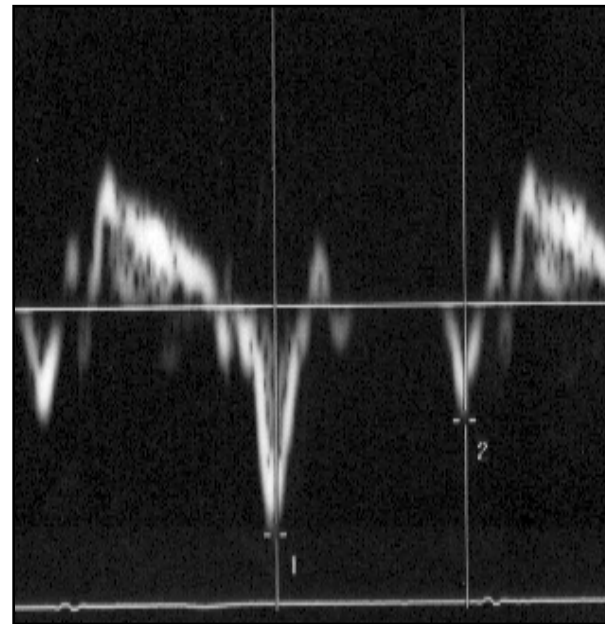
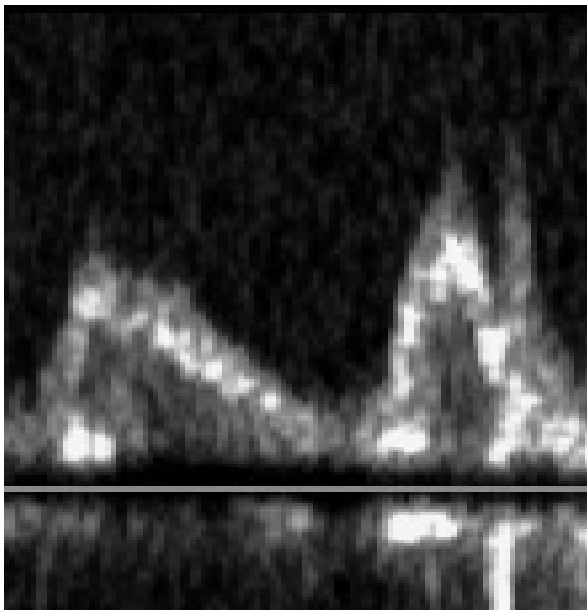
Relaxation impairment (HT)

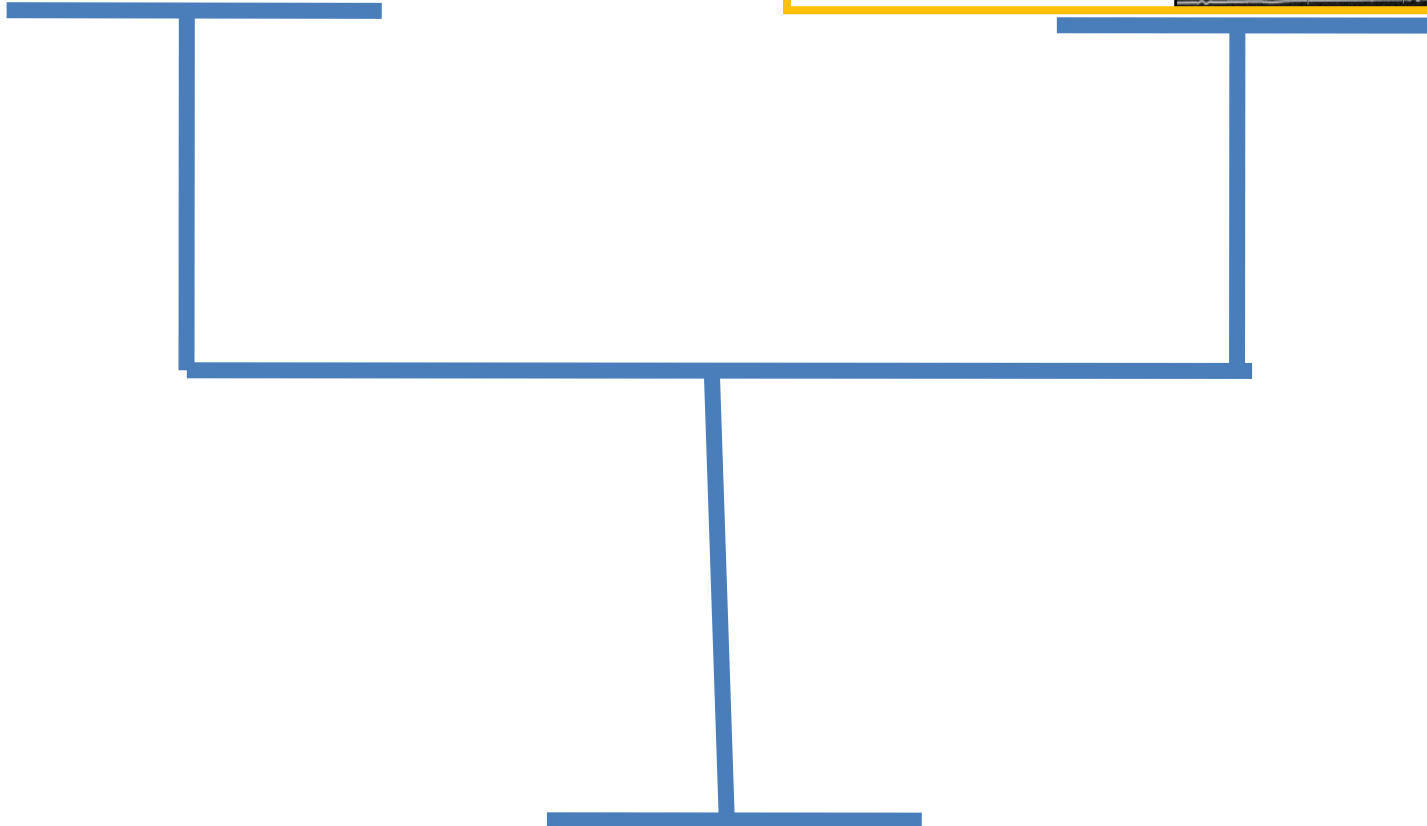
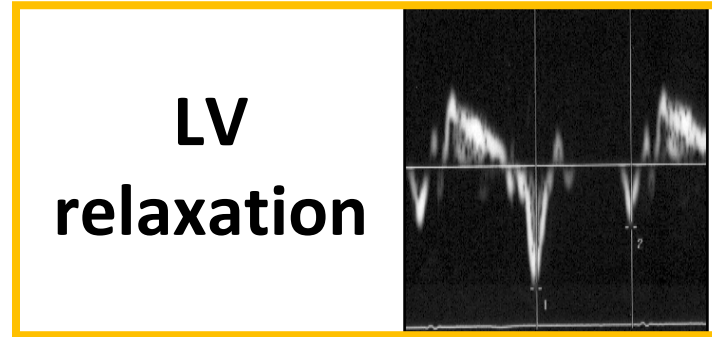
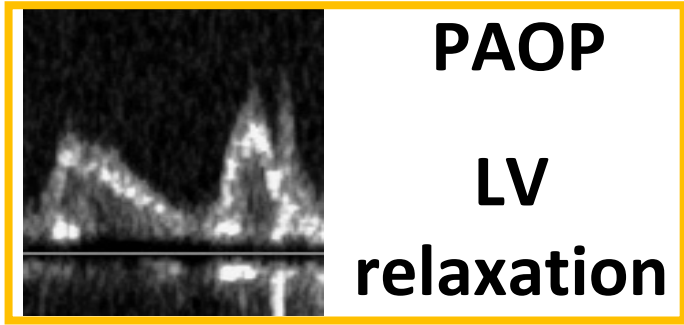
$Ea = 7,5\text{cm/s}$  et     $Ea < Aa$

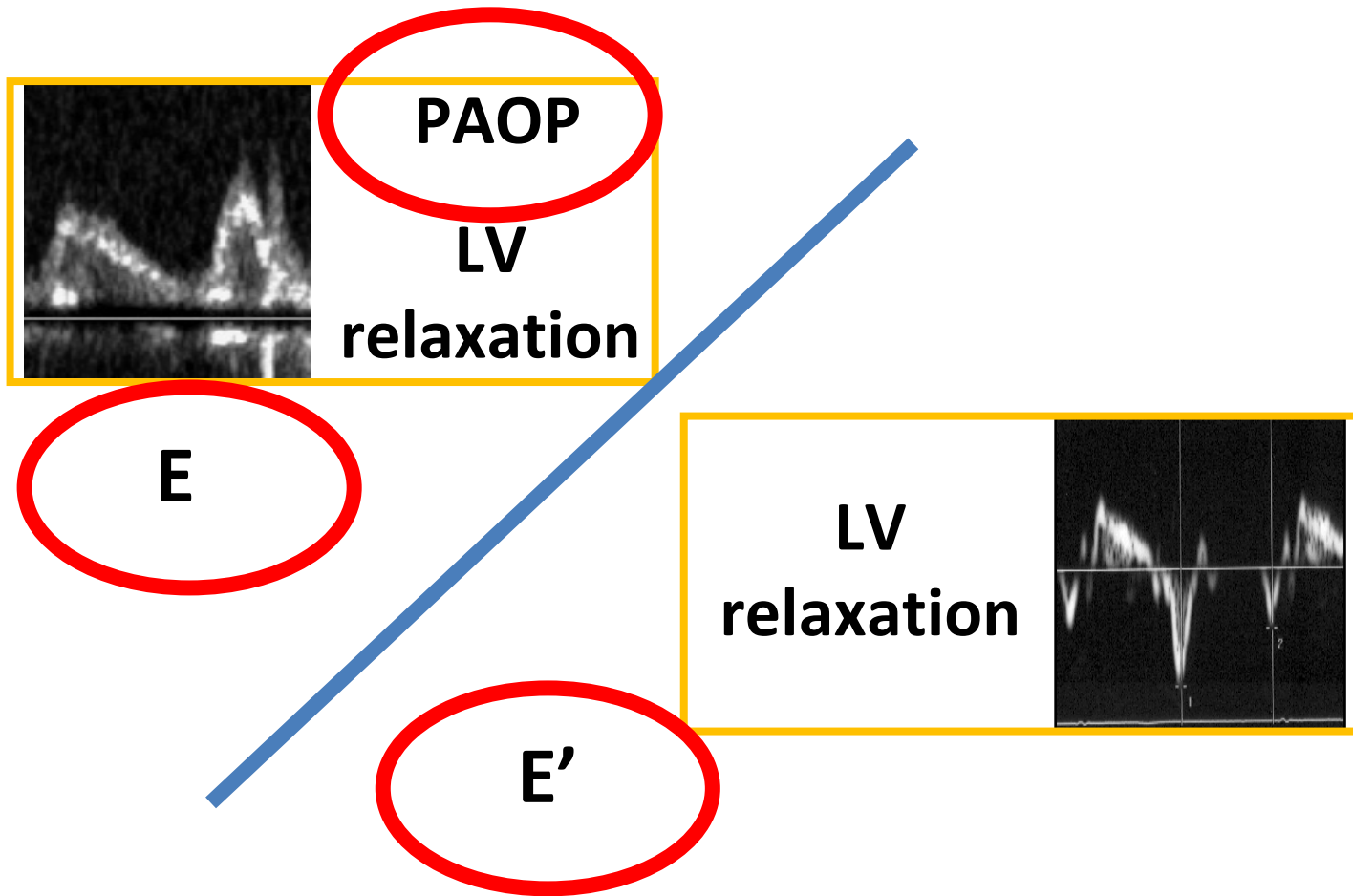


# Exploration de la fonction diastolique

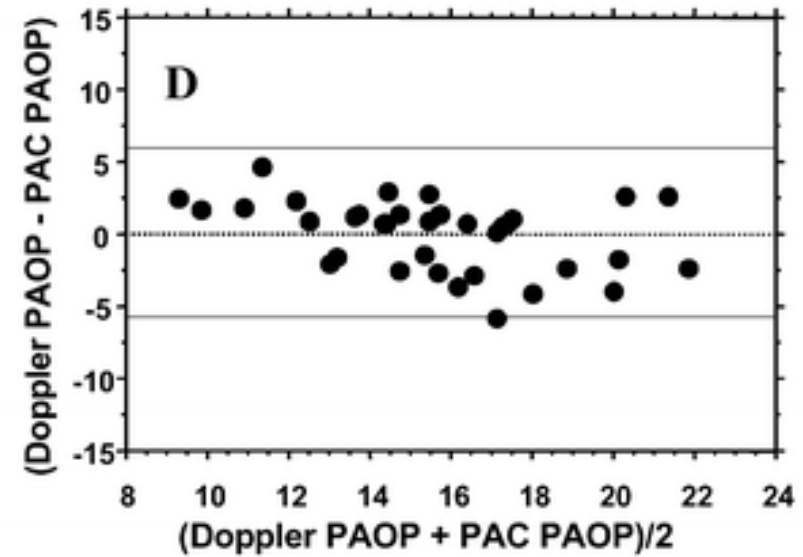
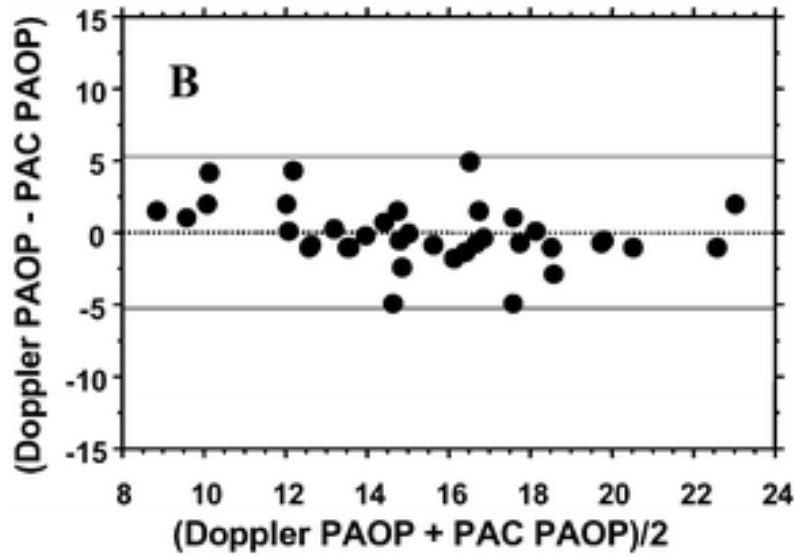
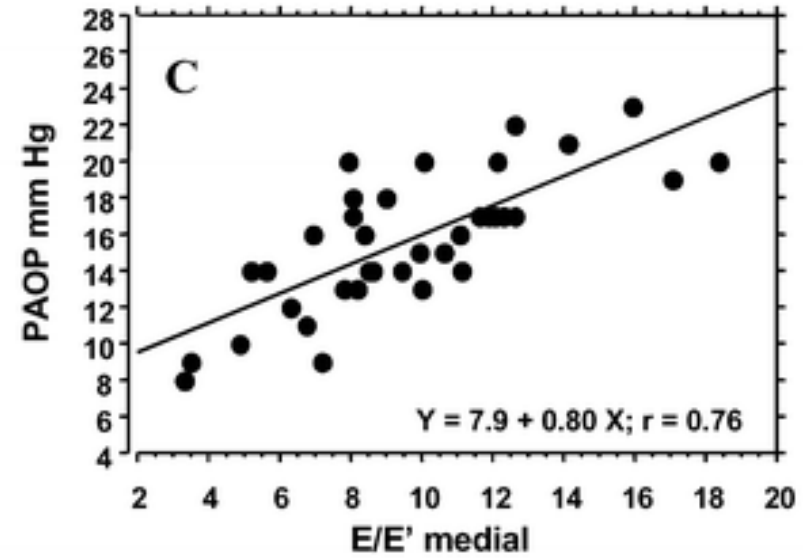
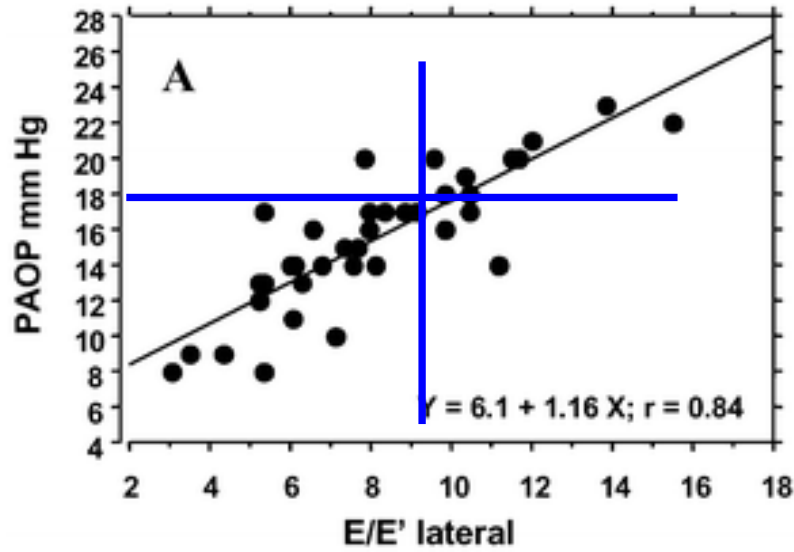
- Flux mitral mais dépend de la relaxation et de la précharge (PAPO)
- $E'$  : indépendant de la PAPO et dépend uniquement de la relaxation (et compliance) du VG







# E/Ea

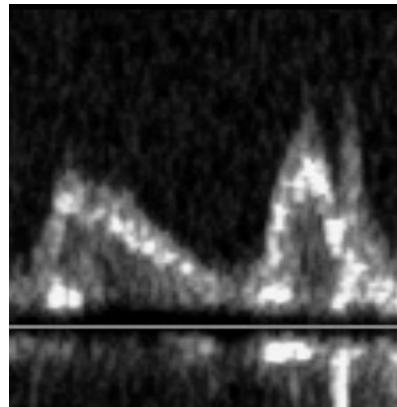


ICU, mechanical ventilation

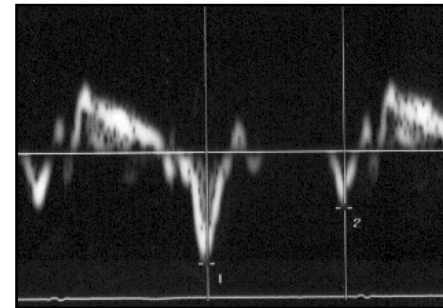
Combes A Int Care Med 2004

# To assess diastolic function

Mitral flow (E wave) but depends on relaxation AND preload (PAOP)

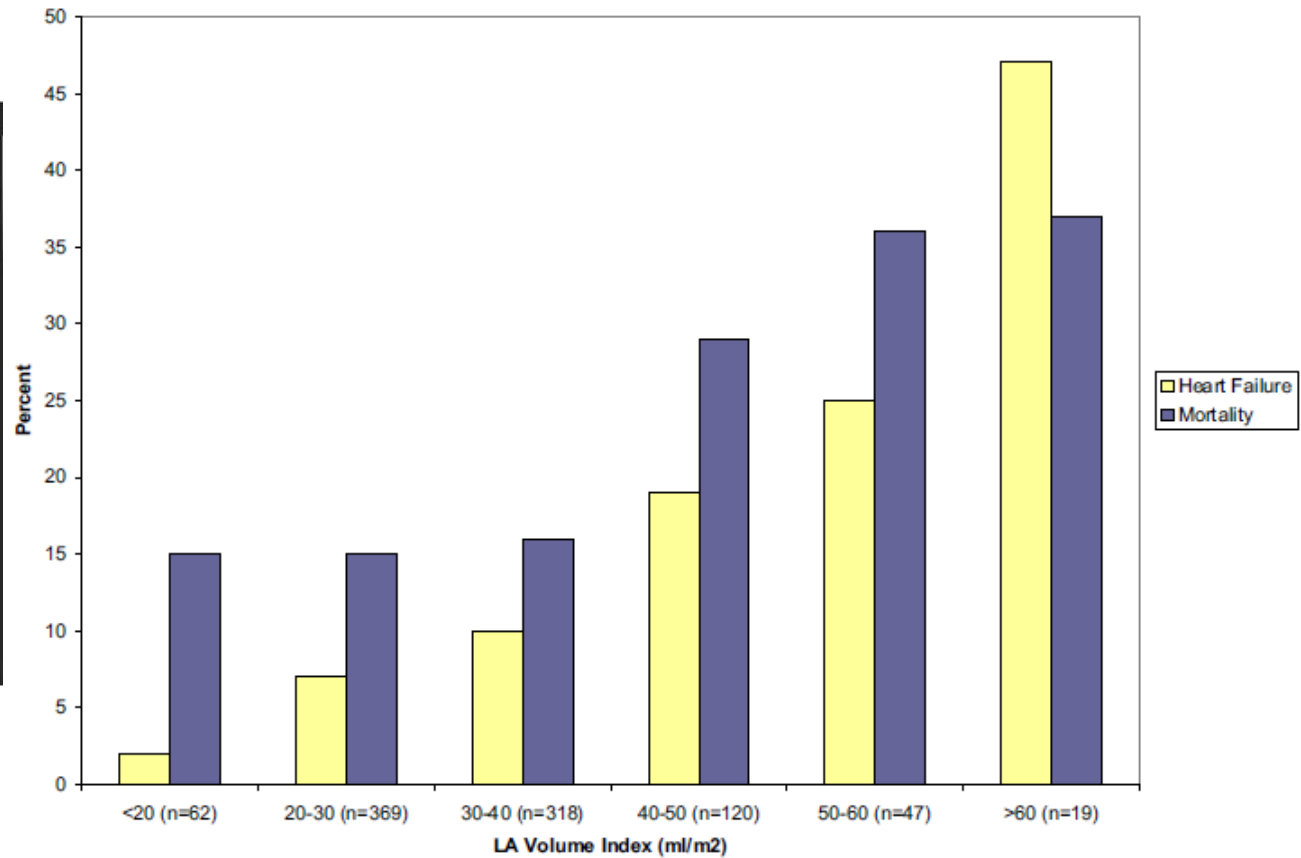
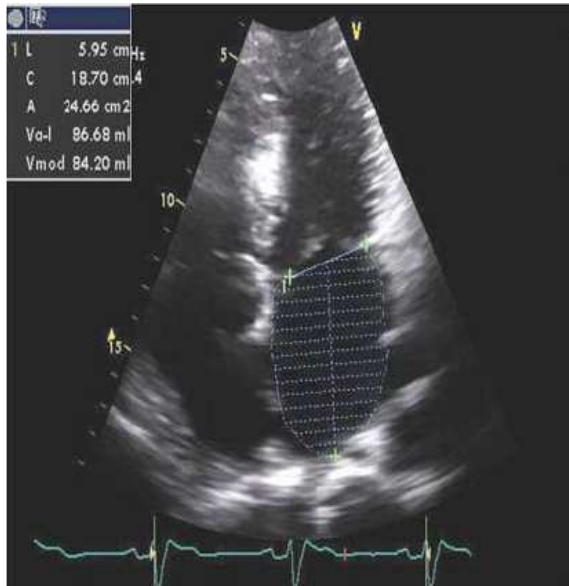


E' : mitral annulus velocity which is independent to PAOP and depends only on LV relaxation (and compliance)



PAOP :  $E/E'$

# Taille de l'OG



Ristow Am J Cardiol 2008

E' septal et latéral  
Volume de l'OG

E' septal  $\geq 8$ , et  
E' latéral  $\geq 10$ , et  
Volume de l'OG  $< 34 \text{ml/m}^2$



Fonction normale

E' septal  $< 8$   
E' latéral  $< 10$   
 $\pm$ Volume de l'OG  $\geq 34 \text{ml/m}^2$



Dysfonction diastolique

Grade I:

E/A  $< 0.8$

DT  $> 200 \text{ms}$

E/E' moyen  $\leq 8$

Grade II:

E/A  $< 0.8-1.5$

DT  $> 160-200 \text{ms}$

E/E' moyen  $\leq 9-12$

Grade III:

E/A  $\geq 2$

DT  $< 160 \text{ms}$

E/E' moyen  $\geq 13$

# Pourquoi s'intéresser à la fonction diastolique?

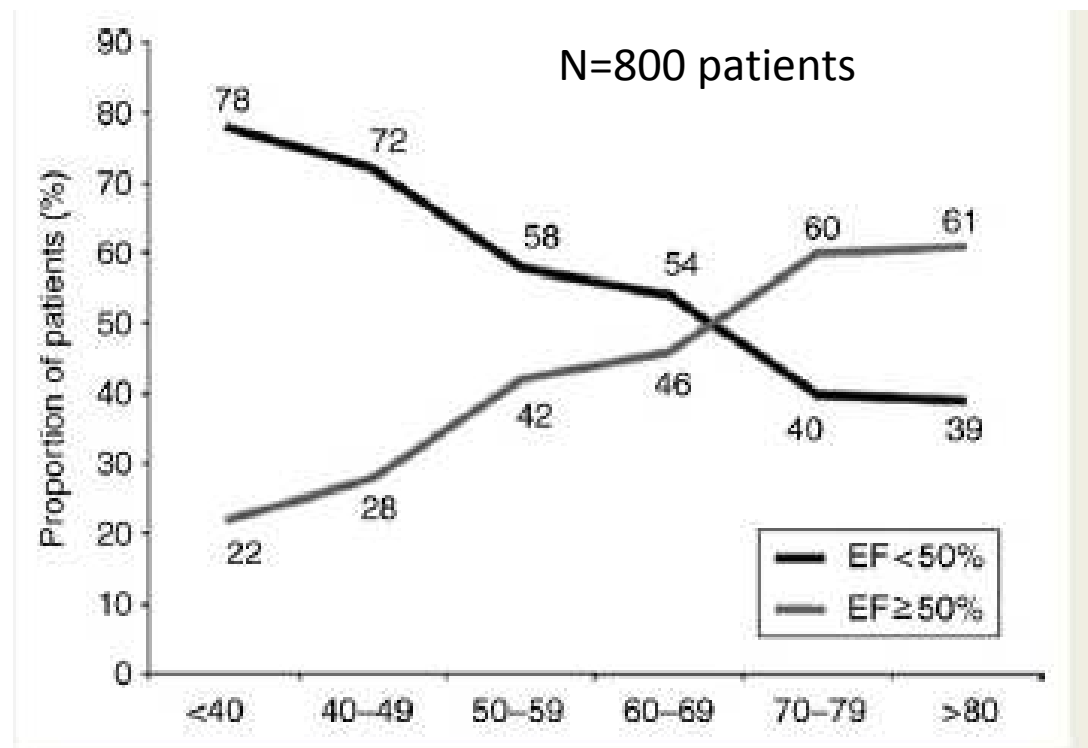
- Œdème pulmonaire
- Remplissage vasculaire chez le patient hypertendu avec ou sans HVG
- Patients en choc septique
- Sevrage de la ventilation mécanique

## Congestive cardiac failure with preserved systolic function

- 50% of patients with congestive heart failure
- Increased prevalence with
  - Age
  - Hypertension

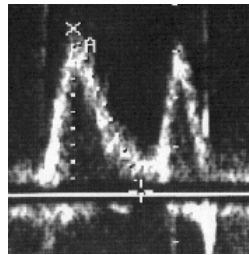
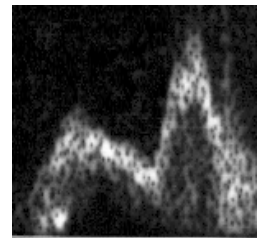
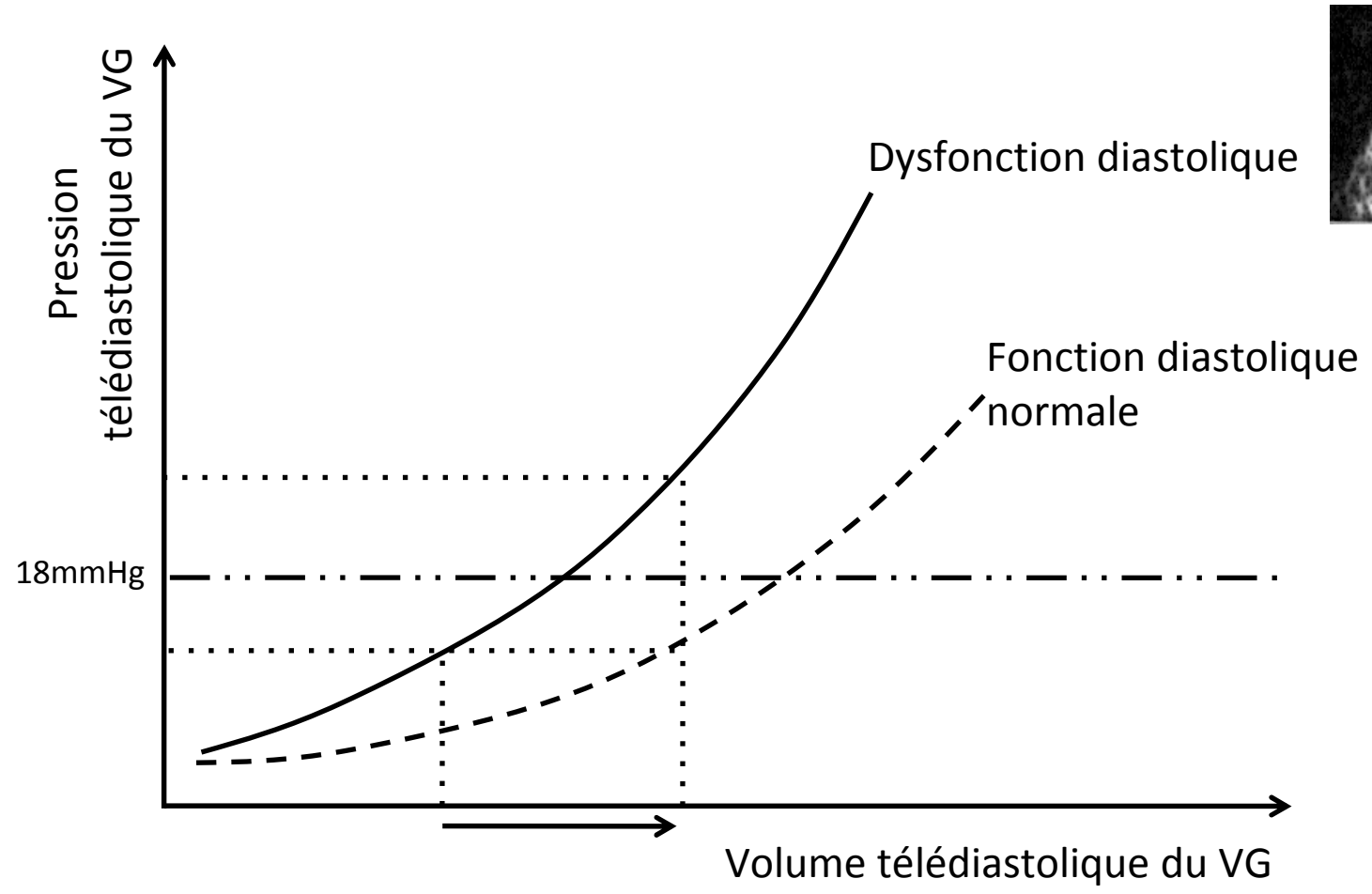
## Prognosis of heart failure with preserved ejection fraction: a 5 year prospective population-based study

Christophe Tribouilloy\*, Dan Rusinaru, Haïfa Mahjoub, Vicky Soulière, Franck Lévy, Marcel Peltier, Michel Slama, and Ziad Massy



# Pourquoi s'intéresser à la fonction diastolique?

- Œdème pulmonaire
- Remplissage vasculaire chez le patient hypertendu avec ou sans HVG
- Patients en choc septique
- Sevrage de la ventilation mécanique



Dysfonction diastolique

Fonction diastolique normale

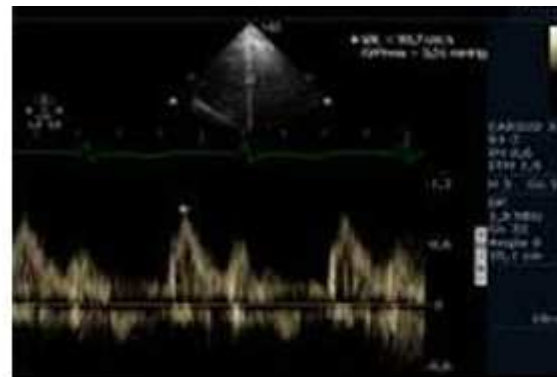
Pression télédiastolique du VG

Volume télédiastolique du VG

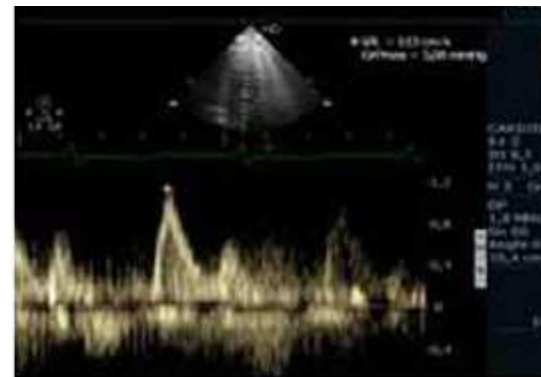
18mmHg

Yazine Mahjoub  
Hélène Benoit-Fallet  
Norair Airapetian  
Emmanuel Lorne  
Mélanie Levrard  
Abdoul-Aziz Seydi  
Nacim Amennouche  
Michel Slama  
Hervé Dupont

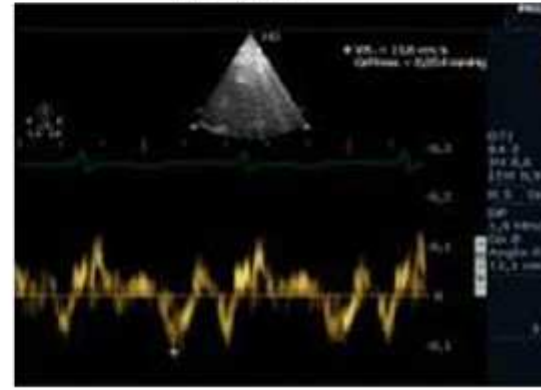
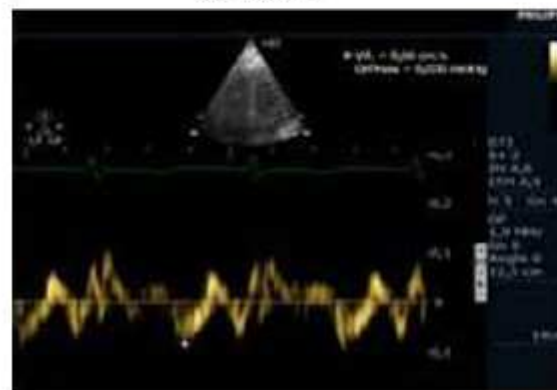
## Improvement of left ventricular relaxation as assessed by tissue Doppler imaging in fluid-responsive critically ill septic patients



SV= 48 ml



SV= 56 ml



# Diastolic function improves after fluid infusion in septic shock patients with diastolic dysfunction

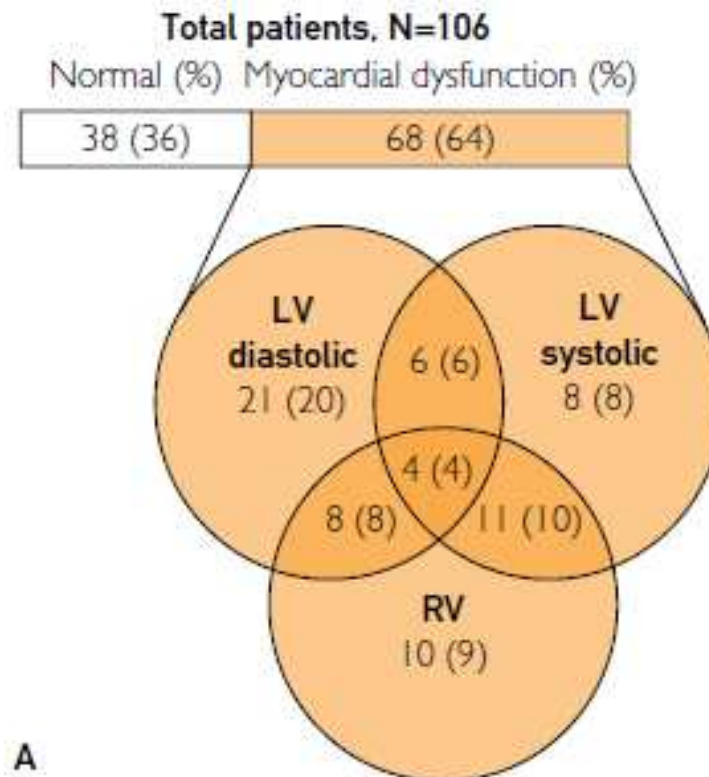
VE-induced variation in haemodynamic parameters	Responders ( <i>n</i> = 59)	Non-responders ( <i>n</i> = 24)	<i>p</i>
$\Delta$ SV % (ml)	29 ± 2 (15 ± 1)	2 ± 3 (-1 ± 1)	<0.0001
$\Delta$ CO % (l/min)	20 ± 3 (1.0 ± 0.1)	6 ± 4 (0.3 ± 0.2)	0.005
$\Delta$ LVEDA % (cm <sup>2</sup> )	8 ± 4 (1.8 ± 0.8)	-9 ± 7 (-2.2 ± 1.2)	0.03
$\Delta$ E' wave % (m/s)	22 ± 4 (0.020 ± 0.010)	5 ± 6 (0.007 ± 0.007)	0.02
$\Delta$ E/E' %	8 ± 5 (0.2 ± 0.3)	28 ± 8 (1.4 ± 0.4)	0.02

# Pourquoi s'intéresser à la fonction diastolique?

- Œdème pulmonaire
- Remplissage vasculaire chez le patient hypertendu avec ou sans HVG
- Patients en choc septique
- Sevrage de la ventilation mécanique

# Clinical Spectrum, Frequency, and Significance of Myocardial Dysfunction in Severe Sepsis and Septic Shock

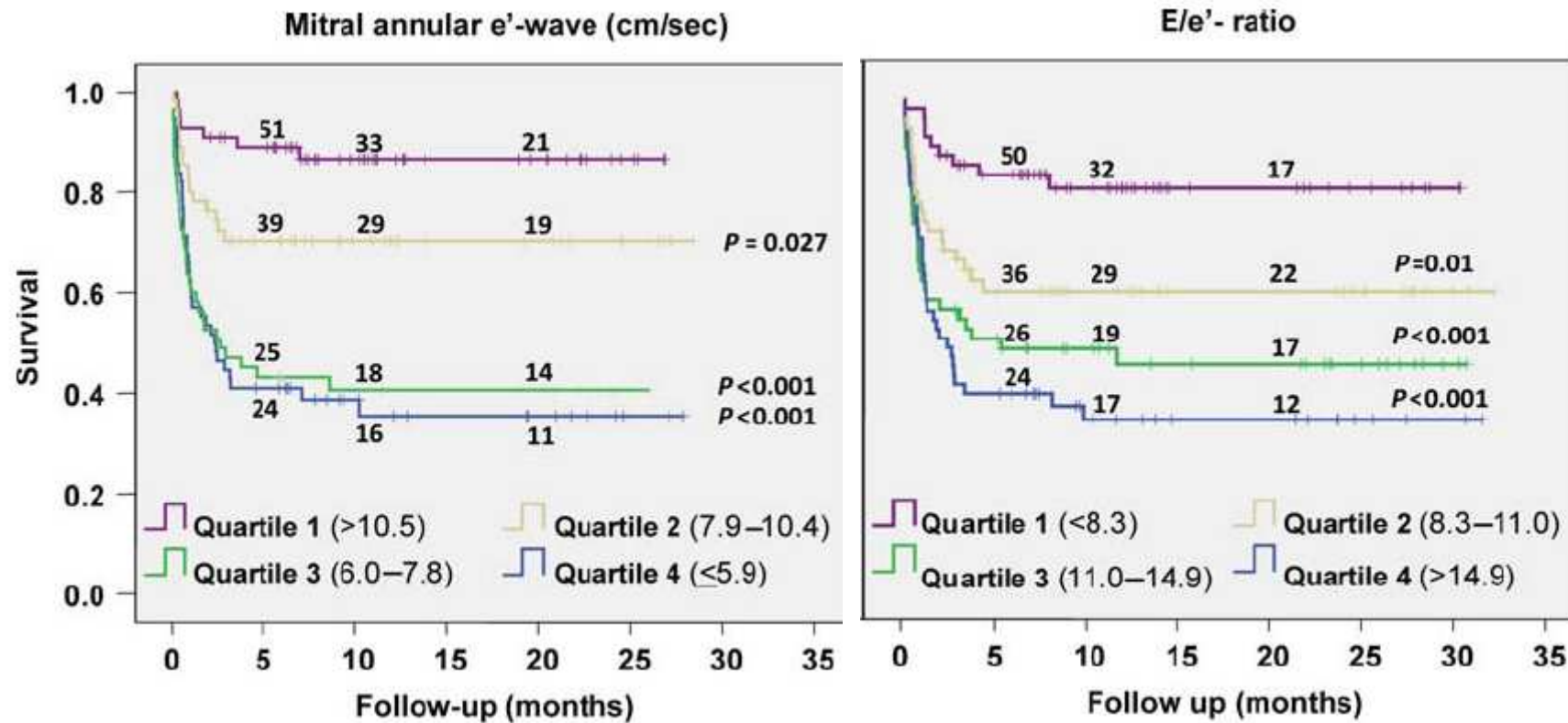
Juan N. Pulido, MD; Bekele Afessa, MD; Mitsuru Masaki, MD, PhD; Toshinori Yuasa, MD, PhD; Shane Gillespie, DO; Vitaly Herasevich, MD, PhD; Daniel R. Brown, MD, PhD; and Jae K. Oh, MD



A

# Diastolic dysfunction and mortality in severe sepsis and septic shock

Giora Landesberg<sup>1\*</sup>, Dan Gilon<sup>2</sup>, Yuval Meroz<sup>1</sup>, Milena Georgieva<sup>1</sup>, Phillip D. Levin<sup>1</sup>, Sergey Goodman<sup>1</sup>, Alexander Avidan<sup>1</sup>, Ronen Beeri<sup>2</sup>, Charles Weissman<sup>1</sup>, Allan S. Jaffe<sup>3</sup>, and Charles L. Sprung<sup>1</sup>

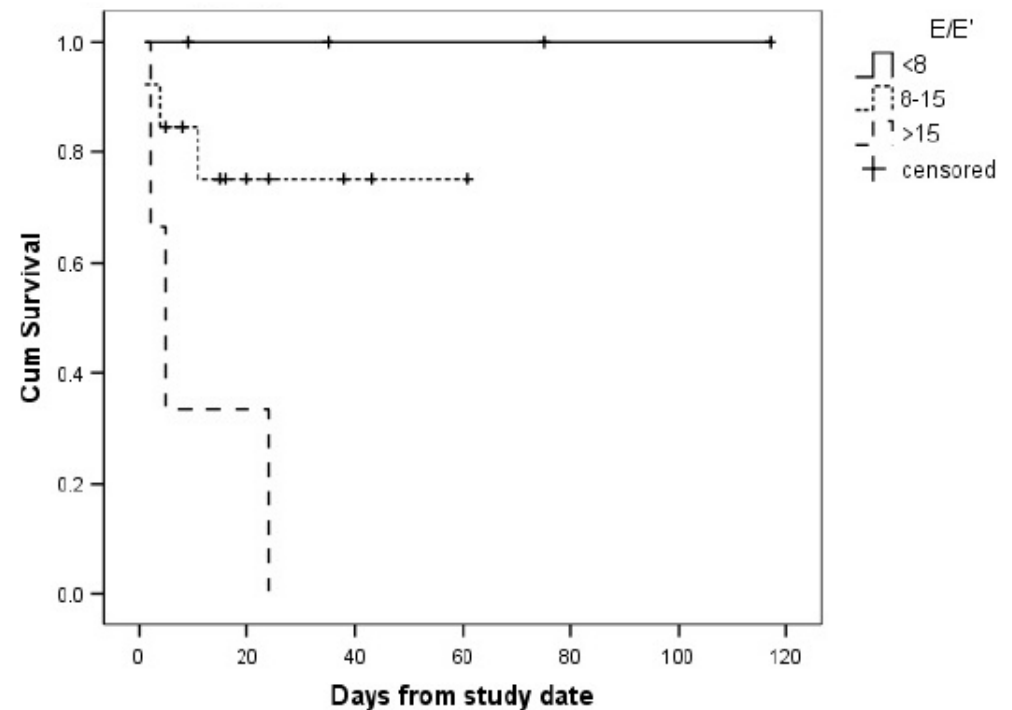
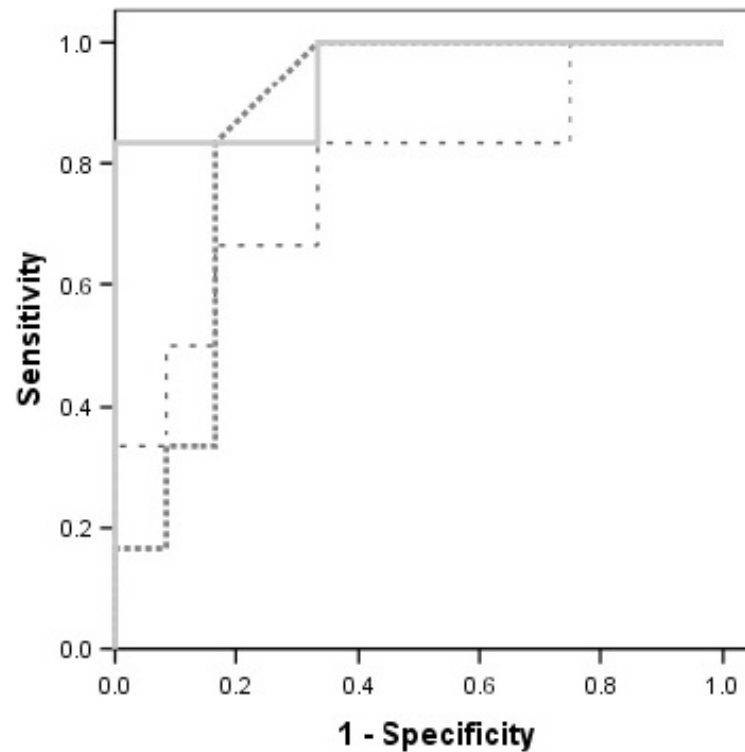


RESEARCH

Open Access

# Prediction of hospital outcome in septic shock: a prospective comparison of tissue Doppler and cardiac biomarkers

David J Sturgess<sup>1,2\*</sup>, Thomas H Marwick<sup>1,3</sup>, Chris Joyce<sup>1,4</sup>, Carly Jenkins<sup>1,3</sup>, Mark Jones<sup>5</sup>, Paul Masci<sup>1</sup>, David Stewart<sup>4</sup>, Bala Venkatesh<sup>1,2,4</sup>



# Pourquoi s'intéresser à la fonction diastolique?

- Œdème pulmonaire
- Remplissage vasculaire chez le patient hypertendu avec ou sans HVG
- Patients en choc septique
- Pression intra abdominale
- Sevrage de la ventilation mécanique

## Effect of intra-abdominal hypertension on left ventricular relaxation: a preliminary animal study

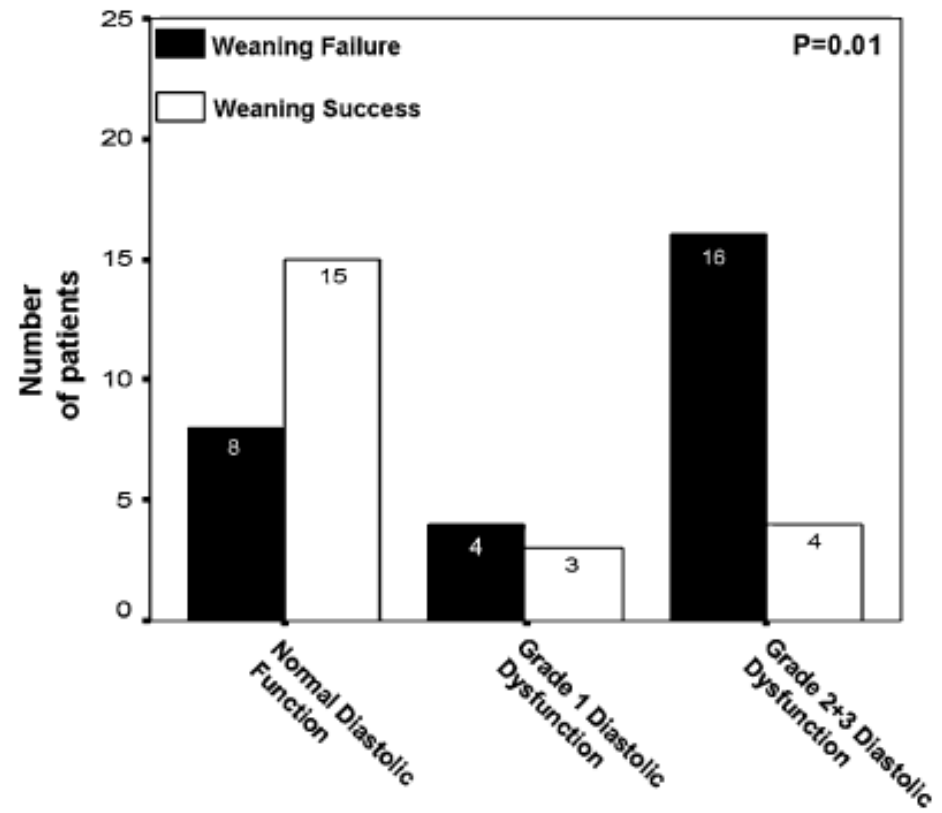
Y. Mahjoub<sup>1,2\*</sup>, E. Lorne<sup>1,2</sup>, J. Maizel<sup>2,3</sup>, G. Plantefève<sup>4</sup>, Z. A. Massy<sup>2,5</sup>, H. Dupont<sup>1,2</sup> and M. Slama<sup>2,3</sup>

	Baseline	IAH (baseline + 20 mm Hg)	P-value
HR (bpm)	202 [152–252] (150–255)	166 [116–216] (115–220)	0.60
MAP (mm Hg)	60 [45–75] (44–76)	50 [38–67] (36–70)	0.20
SAP (mm Hg)	72 [61–83] (60–85)	83 [60–103] (58–105)	0.15
DAP (mm Hg)	48 [43–52] (35–60)	41 [30–56] (30–58)	0.45
dLVP <sub>max</sub> /dt (mm Hg s <sup>-1</sup> )	3590 [3463–3717] (3405–3750)	2111 [2011–2211] (2020–2225)	0.14
<b>Tau (ms)</b>	<b>16 [14–18] (13–19)</b>	<b>43 [34–52] (31–55)</b>	<b>0.048</b>
LVEDP (mm Hg)	7 [6–8] (5–9)	15 [11–19] (10–20)	0.04
CVP (mm Hg)	2 [–2 to 6] (–1 to 7)	7 [–2 to 12] (–1 to 13)	0.03
Plateau pressure (cm H <sub>2</sub> O)	23 [18–28] (17–29)	34 [27–42] (25–43)	0.04
Oesophageal pressure (cm H <sub>2</sub> O)	2.8 [1.5–4] (1–5)	3.9 [2–4.5] (1.5–5)	0.22

# Pourquoi s'intéresser à la fonction diastolique?

- Œdème pulmonaire
- Remplissage vasculaire chez le patient hypertendu avec ou sans HVG
- Patients en choc septique
- Sevrage de la ventilation mécanique

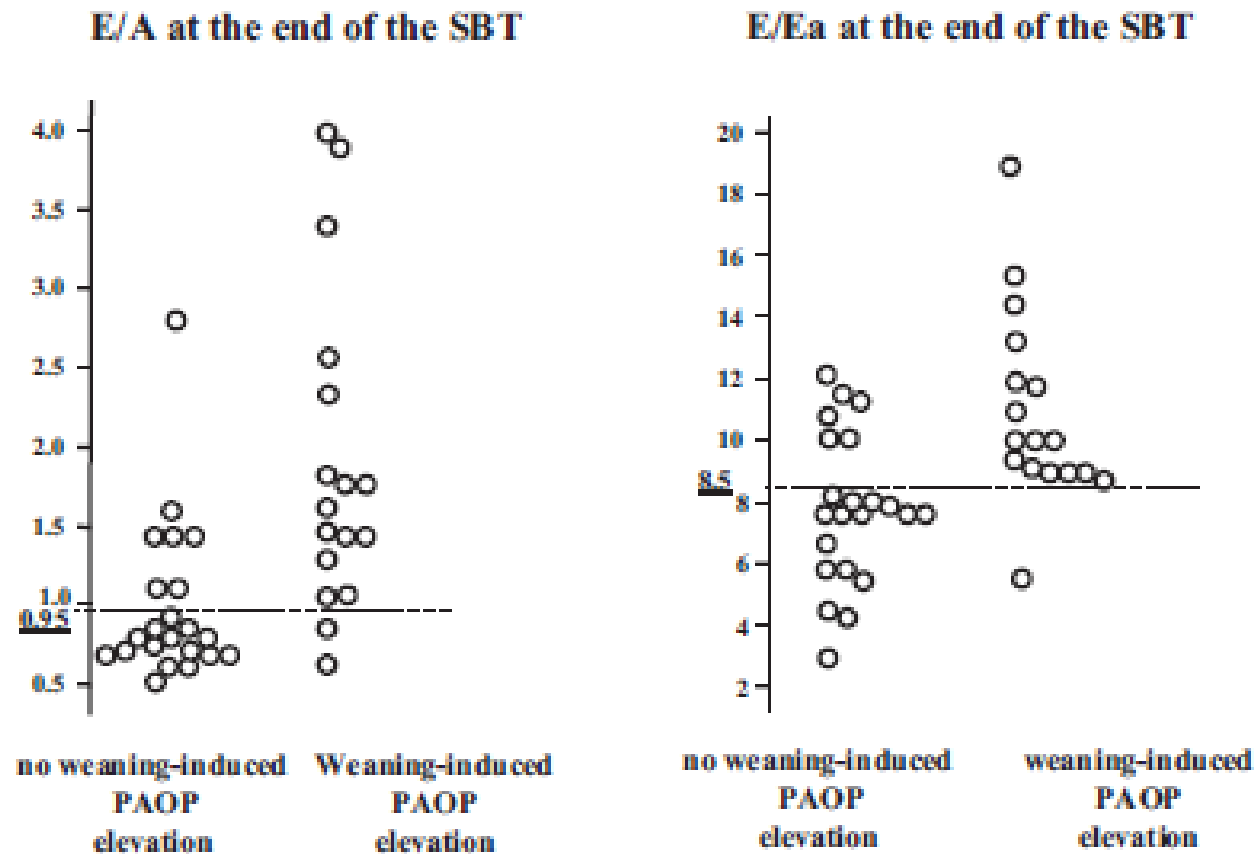
Pre SBT



# Echocardiographic diagnosis of pulmonary artery occlusion pressure elevation during weaning from mechanical ventilation\*

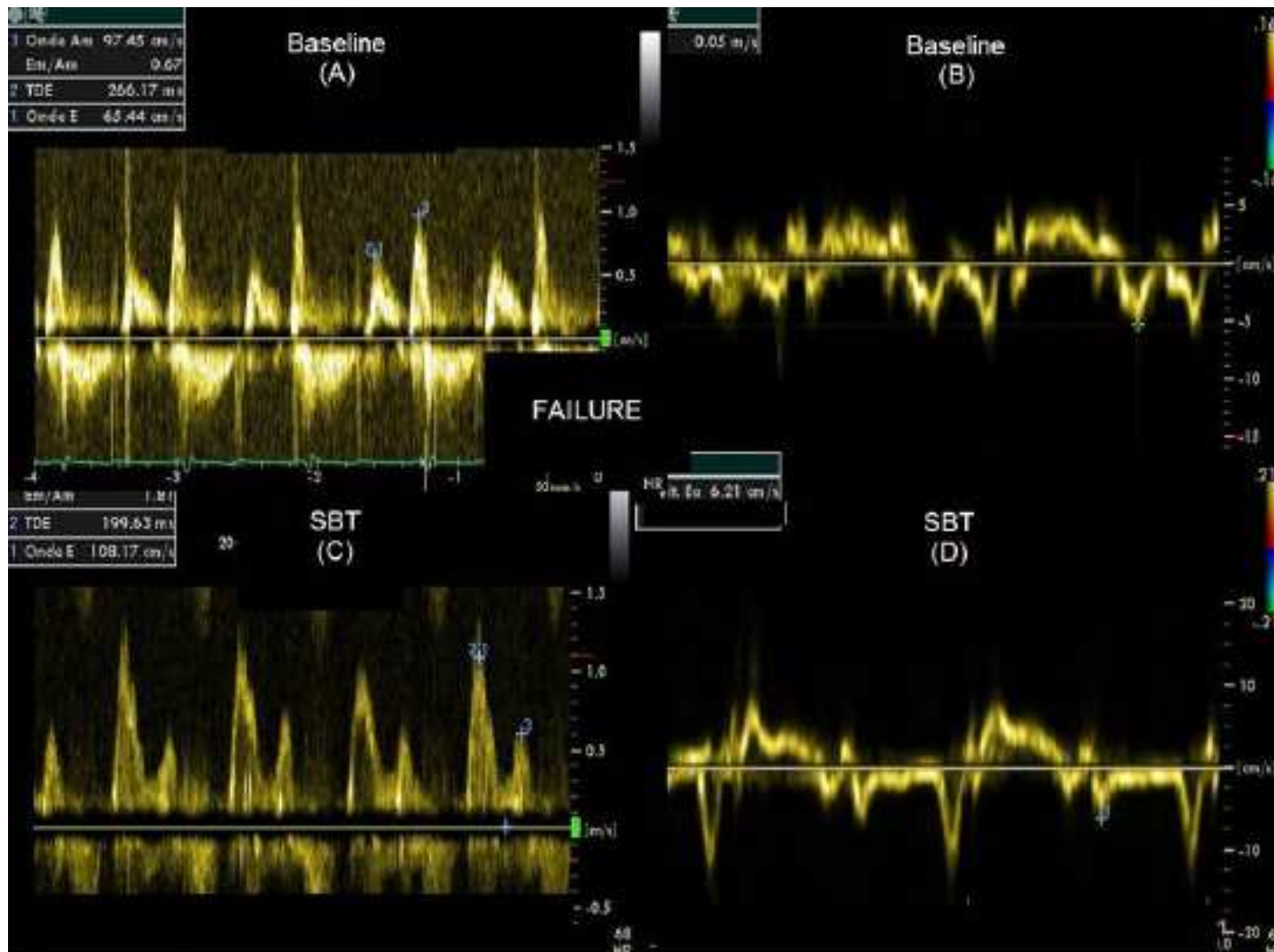
Bouchra Lamia, MD, MPH, PhD; Julien Maizel, MD; Ana Ochagavia, MD; Denis Chemla, MD, PhD; David Osman, MD; Christian Richard, MD; Jean-Louis Teboul, MD, PhD

PAOP > 18 mmHg



	Weaning success	
	Baseline	End-SBT
NT-proBNP, pg/mL	3972 (1339-7751)	3952 (1531-7928)
LVEF (%)	40.5 (34-50)	45 (35-51) <sup>a</sup>
Cardiac index (L/min/m <sup>2</sup> )	3.0 (2.68-3.5)	3.5 (3.06-3.77) <sup>a</sup>
E/A ratio	1.12 (0.9-2.4)	1.24 (0.85-2.21)
E/Ea ratio	9.5 (7-15.7)	9.3 (6.8-11.9)

	Weaning failure	
	Baseline	End-SBT
NT-proBNP, pg/mL	4200 (1855-7125)	8199 (3106-10949) <sup>a,b</sup>
LVEF (%)	39 (35-40.5)	38 (35-42)
Cardiac index (L/min/m <sup>2</sup> )	2.75 (2.43-2.9)	2.4 (2.22-2.74) <sup>b</sup>
E/A ratio	1.06 (0.9-1.37)	1.38 (0.93-2.15) <sup>a</sup>
E/Ea ratio	10.7 (6.7-20.5)	16.8 (8.5-27.3) <sup>a,b</sup>
Mitral regurgitation		
Absence	4	4
Mild	3	2
Moderate	2	1
Severe	1	3
RJA/LAA ratio (% , all patients)	7.7 (0-24.2)	11.0 (0-42.1) <sup>a</sup>
RJA/LAA ratio (% , RJA present)	17.9 (11-25.2)	30.0 (10.8-44.4) <sup>a</sup>



# Conclusions

- Physiologie complexe de la diastole
- Ne pas négliger en réanimation cette fonction cardiaque essentielle
- Connaître les implications cliniques et les techniques d'exploration de la fonction diastolique en réanimation